Instituto Superior Minero Metalúrgico Facultad Metalúrgica Electromecánica Hoja 97o. —

MINISTERIO DE EDUCACION SUPERIOR
INSTITUTO SUPERIOR MINERO METALURGICO
MOA - HOLGUIN

# TRABAJO DE DIPLOMA

TITULO: Evaluación de las torres de enfriamiento del ciclo II de la Fábrica de Niguel
"Comandante Ernesto Che Guevara".

DIPLOMANTE: Freddy Sanchez Guilarte, Ands.

TUTORES: Ing. Pedro Rodríguez E.

Ing. Walter Quesada F.

MOA 1990 Ano XXXII de la Revolución. Liploma

## Instituto Superior Minero Metalúrgico Facultad Metalúrgica Electromecánica

Hoja 910. —

#### DEDICATORIA.

Sirvanos de placer dar merecido reconocimiento, mediante estas pequeñas líneas, a la Revolución que nos ha tornado como fieles seguidores de la causa del socialismo y el internacionalismo.

A todos aquellos que de una forma u otra han ayudado a alcanzar nuestro principal objetivo, para de esta forma contribuir al desarrollo de nuestro país.

Reciban de esta forma nuestros padres, esposa e hijo, familiares y amigos esta pequeña dedicatoria que nos llena de gran orgullo y satisfacción.

Liploma

### Instituto Superior Minero Metalúrgico Facultad Metalúrgica Electromecánica

Hoja No. —

#### **AGRADECIMIENTO**

Llegar a la cima de una meta trazada debe ser el punto de partida para nuevos empeños. Pero cuando llegamos a ésta debemos reconocer el trabajo de aquellos que de una forma u otra nos han brindado sus conocimientos, experiencias y apoyo.

Se desea dejar constancia de nuestro agradecimiento a los trabajadores de la fábrica Comandante Ernesto Che Guevara y en especial al Ing. Pedro Rodríguez Echemendía que nos mostró en todo momento su disposición, contribución y el mayor volumen de literatura para la confección del presente trabajo de diploma.

## Instituto Superior Minero Metalúrgico Facultad Metalúrgica Electromecánica

Hoja No. —

INDICE	Pág.
Resumen	1
Introducción	2
Desarrollo	5
Primera Parte	
CAPITULO I. Generalidades sobre torres de enfria-	
miento	즉
1.1 Introducción	6
1.2 Puncionamiento de la torre de enfriamiento	7
1.3 Principio de enfriamiento del agua en las torres.	10
1.4 Clasificación de las torres de enfriamiento	14
1.4.1 Torres de tiro mecánico	15
1.4.2 Torres de circulación Natural	16
1.5 Condiciones de proceso para torres de enfriamien-	
to	17
1.5.1 Determinación del número de unidades de difu-	
sión	20
1.6 Construcción de las torres de enfriamiento	24
1.6.1 Ubicación de las torres de enfriamiento	26
CAPITULO II. Método de evaluación y comportamiento de	
las torres de enfriamiento del ciclo II.	27
2.1 Comparación y evaluación para las condiciones de	
diseño	27
2.2 Comparación y evaluación para las condiciones de	
trabajo de las torres de enfriamiento	36
CAPITINO III COnclusiones	17

Prabajo de Diploma

## Instituto Superior Minero Metalúrgico Facultad Metalúrgica Electromecánica

Hoja 910. —

CAPITULO IV. Recomendaciones	Pág.
Segunda Parte:	48
Bibliografía y referencia.	
Simbelegía adoptada y unidades	50
Anexos.	30
Tablas.	
Gráficos.	

#### Instituto Superior Minero Metalúrgico Facultad Metalúrgica Electromecánica

Hoja 970. —

#### RESUMEN

El presente trabajo estuvo encaminado a realizar un análisis comparativo entre los datos suministrados por proyecto y los datos obtenidos mediante mediciones, además de
lograr una metodología que permitirá evualuar el trabajo de
las torres de enfriamiento cada vez que se desee.

El período comprendido para la toma de datos fue de un mes, del 1ero al 31 de Agosto, tomando en consideración que es el mes más caluroso del año. Para esto fue necesario el montaje de una pequeña cabina climatológica en la parte nordeste, aproximadamente a 100 metros de la torre, en la cual se montaron los siguientes instrumentos:

Un cicrómetro para medir la humedad relativa, un anemómetro para medir la velocidad del viento, un manómetro para la presión atmosférica y un termómetro climatológico de vidrio para medir la temperatura del bulbo húmedo y del bulbo seco tanto en la cabina como en el interior de la torre ( en la zona de rociado ). Además la temperatura de entrada y de salida del agua a la torre, debiendo señalar que estas medidas eran tomadas cada una hora.

Mediante este trabajo logramos confeccionar una metodología que permite evaluar el comportamiento de las torres de enfriamiento de esta industria y de cualquier otra instalación de este tipo.

Liploma

# Instituto Superior Minero Metalúrgico Facultad Metalúrgica Electromecánica

Hoja No. —

#### INTRODUCCION

Uno de los más importantes procesos de transferencia de calor que se encuentran en ingeniería es el intercambio de calor entre fluidos diferentes, que pueden ser por contacto directo o por contacto indirecto, dentro de los intercambiadores por contacto directo tenemos las torres de enfriamiento, las que a su vez pueden ser de tiro mecánico o de circulación natural.

En este equipo el aire llega al interior en contacto directo con el agua y se mezcla con el vapor formado en la torre por vaporización parcial del agua. Se trata de un proceso combinado de transferencia de calor y de masa.

Existen varios procesos de flujo estacionarios durante los cuales se rocía o pulveriza agua relativamente caliente dentro de una corriente de aire, siendo generalmente el objetivo enfriar el agua ( como es en la torre de enfriamiento ). Como en muchas plantas industriales el agua fría cruda es muy escasa, de manera que no se permite su uso ilimitado como medio de enfriamiento. Se utilizan torres de enfriamiento con este propósito para poder usarla de nuevo en el proceso.

Generalmente se utilizan torres de tiro mecánico, que son aquellas en las cuales el aire se le suministra a través de un ventilador, ya que garantizan un enfriamiento de agua más estable, puesto que permiten regular la temperatura mediante la variación del número de revoluciones o la

Liploma

#### Instituto Superior Minero Metalúrgico Facultad Metalúrgica Electromecánica

Hoja 970. —

desconexión de algunos ventiladores.

Las torres de enfriamiento con ventiladores, gracias a sus ventajas ante estos tipos de enfriadores, en los últimos 30 años se difunden cada vez más. La elevada economia de los ventiladores axiales modernos y también el perfeccionamiento de la construcción ( del diseño ) de las torres enfriadoras con ventiladores condicionan su uso, inclusive en aquellas industrias donde casi no se usaban, por ejemplo en las centrales eléctricas y otras esferas.

Con este trabajo se ha logrado obtener un algoritmo que permite llegar a través de una corrida de datos, a los valoras o parámetros teóricos con los que debe trabajar una torre por diseño y realmente y poder comparar en la práctica el estado de comportamiento y aprovechamiento de las posibilidades con que se diseñan y trabajan las torres de enfriamiento que serán sometidas a este tipo de evaluación. Nuestra aspiración es que el presente trabajo sirva como una herramienta práctica y de estudio en la evaluación del comportamiento de las torres de enfriamiento de la fábrica de Níquel Comandante Ernesto Che Guevara y de su utilizar ción como consulta o aplicación en las demás empresas de la Unión del Níquel y/o de cualquier otra empresa del país que desee su utilización.

Ha sido porter intrés acometer esta tarea ya que tiene una gron importancia el haber llegado a la confección de estadología de evaluación o comportamiento de las torres de enfriamiento para que se alligada como método e

## Instituto Superior Minero Metalúrgico Facultad Metalúrgica Electromecánica

Hoja No. 4

implantación en la planta de servicio energético de nuestra empresa, ya que hasta el momento no existía una norma de procedimiento para poder evaluar el rendimiento y aprovechamiento de la capacidad y/o trabajo de las torres de enfriamiento.

### Instituto Superior Minero Metalúrgico Facultad Metalúrgica Electromecánica

Hoja No. —

#### CAPITULO I

#### I. Generalidades sobre torres de enfriamiento.-

Los intercambiadores de calor son aparatos en los que calor se transporta desde un flujo a otro. Uno de los más importantes procesos de transmisión de calor que se encuentran en ingeniería es el intercambio de calor entre fluidos diferentes, por ejemplo, la generación de vapor de características dadas en un generador de vapor moderno se basa en el proceso de transmisión de calor entre los fluidos. El proceso fundamental, entre condensadores y torres de enfriamiento de las centrales de energía térmica, en los calentadores de aire de los altos hornos y en muchos aparatos de la industria química, es el intercambio de calor entre los fluidos. Según la forma de trabajo, los intercambiadores de calor pueden clasificarse en recuperadores ( intercambiadores con almacenamientos ) y aparatos de contacto directo. Existen además intercambiadores de calor en los que el fluido es calentado o enfriado por medio manantiales o sumideros de calor internos.

En los intercambiadores de calor de contacto, el calor es transmitido por contacto directo entre los fluidos caliente y frío y su mezcla. Intercambiadores de calor de esta clase son las torres de enfriamiento en la que el agua es enfriada por el aire atmosférico, en las que el aire llega al interior en contacto directo con el agua y se mezcla con el vapor formado en la torre por vaporización parcial del agua. Se trata de un proceso combinado de transferencia de

### Instituto Superior Minero Metalúrgico Facultad Metalúrgica Electromecánica

Hoja 910. —

masa y de calor.

Hay varios procesos de fujos estacionarios durante los cuales se rocia o pulveriza agua relativamente caliente o fría dentro de una corriente de aire, siendo generalmente el objetivo enfriar el agua como en las torres de enfriamiento. Como en muchas plantas industriales el agua cruda fría es muy escasa, de manera que no se permite su uso ilimitado. Como medio de enfriamiento se utilizan las torres de enfriamiento, con el propósito de enfriar el agua y poder recircularla.

La temperatura disponible en el agua de enfriamiento se ha visto que es un importante factor económico en el diseño de las modernas plantas químicas y de fuerza. En las plantas químicas fija la presión de operación en los condensadores de los procesos de destilación y vaporización y consecuentemente en el equipo que lo produce. En las plantas de fuerza; fija la descarga de la turbina, la presión y la recuperación de calor óptimo. Por estas razones vitales el estudio de las torres de enfriamiento y la temperatura del agua que se puede obtener en ellas, es de gran importancia al implantar un proceso. Las torres de enfriamiento son también el miembro más simple de una clase de aparatos cuyas potencialidades han sido poco explotadas.

#### 1.1.- Introducción.

Las torres de enfriamiento con ventiladores son construcciones para enfriar el agua en sistemas de retorno de

## Instituto Superior Minero Metalúrgico Facultad Metalúrgica Electromecánica

Hoja 970. <del>7</del>

espacio rociador mediante los ventiladores. En comparación con las torres de tiro natural y las rociadoras, las torres con ventiladores garantizan un enfriamiento del agua más estable, puesto que permiten regular la temperatura del agua enfriada mediante la variación del número de revoluciones o la desconexión de algunos ventiladores.

La temperatura del agua enfriada en las torres con ventiladores es inferior a la existente en las torres de tiro natural con idénticas condiciones ( de 3-5 °C ).

Las torres de enfriamiento con ventiladores, gracias a sus ventajas ante otros tipos de enfriadores, en los últimos 30 años se difunden cada vez más, la elevada economía de los ventiladores axiales modernos y también el perfeccionamiento de la construcción ( del diseño ) de las torres enfriadoras con ventiladores condicionaron su uso, inclusive en aquellas esferas de la industria donde antes casi no se usaban, por ejemplo en las centrales eléctricas.

#### 1.2- Funcionamiento de la torre de enfriamiento.

El proceso de enfriamiento del agua, en la torre, ocurre a partir de un principio muy simple. La temperatura de bulbo húmedo representa la temperatura minima a la cual es posible enfriar agua por vaporización; esta temperatura varia según la hora del día, el tiempo y la estación del año. En una torre de enfriamiento el agua desciende continuamente en forma de lluvia y la corriente de aire asciende. Donde

#### Instituto Superior Minero Metalúrgico Facultad Metalúrgica Electromecánica

Hoja No. —

la temperatura del bulbo húmedo es más baja que la temperatura del agua. Cuanto menor sea la humedad del aire que entra, mayor será su efecto enfriador, si el aire está saturado no se consigue enfriamiento. El agua que ha de enfriarse se rocía dentro de la torre cerca de su parte superior y salpica al descender y caer sobre bandejas y placas desviadoras que hacen que la superficie del agua expuesta al aire sea tan grande como sea posible.

El aire no saturado que pasa a través de esta agua pulverizada se lleva el calor latente de una parte de ella. enfriandose en consecuencia. El desempeño de una torre de enfriamiento es independiente de la temperatura del bulbo seco del aire y depende solamente de la temperatura del bulbo húmedo del aire que está en contacto con el agua, esta indiferencia en la torre de enfriamiento ( descuidarse de la temperatura del bulbo seco ), es similar a la que se le da a la del bulbo húmedo si se tiene en cuenta la humedad relativa conque entra el aire por lo que es imposible que la temperatura del bulbo húmedo que tiene el aire haga extraer la misma que tiene el agua caliente. Como quiera que sea, al final del enfriamiento, esta condición puede acercarse si el aire incluido o forzado en la torre de enfriamiento se realiza a contraflujo en una forma óptima. Para que se logre la mayor economía en las torres es necesario que se mantenga un determinado rango de friamiento y cantidad de agua. Ahora bien, ocurre que rango de enfriamiento es mayor si la cantidad de agua

## Instituto Superior Minero Metalúrgico Facultad Metalúrgica Electromecánica

Hoja 970. —

reduce y el rango es menor si la cantidad de agua aumenta. Tenemos que señalar que el desempeño de la torre de enfriamiento no varía si el rango de enfriamiento aumenta o disminuye la cantidad de agua. Es importante enfatizar que el aumento de agua que corre por la torre no da como resultado la disminución de la temperatura del agua enfriada. Hay que agregar que como el aire seco a temperatura constante se satura con agua a la misma temperatura en un aparato de contacto directo, el vapor de agua que sale con el aire lleva consigo su calor latente de vaporización. humedad de la mezcla aire\_agua\_vapor aumenta durante la saturación, debido a que la presión del vapor de agua que sale del líquido es mayor que aquella en el aire no saturadando por resultado una vaporización cuando la presión del vapor de agua en el aire se iguala a la del líquido, el aire se satura y la vaporización cesa.

El volumen de la torre de enfriamiento (efectivo) es el producto del área efectiva (corte transversal) por la altura efectiva de la torre no es más que la distancia desde la base de la barbada hasta el centro de la linea de la plancha, en los que el sistema de distribución sea una especie de boquilla. La altura efectiva se toma desde la base de la barbada hasta el centro de la linea del sistema más ocho (8) pies.

El tiempo de contacto entre el aire y el agua está determinado por el tiempo que requiere el agua en pasar de la boquilla al depósito de agua que está debajo de la torre ( Liplama

### Instituto Superior Minero Metalúrgico Facultad Metalúrgica Electromecánica

Hoja No. —

piscina). El tiempo de contacto puede no ser suficiente si la cantidad de aire que se necesita para el enfriamiento no es la necesaria para que la altura minima de la torre sea mantenida. La superficie húmeda o mojada es el área total de la bandeja o deflectores y travesaños que están expuestos a mojarse dentro de la torre. La mayor superficie húmeda va a traer como consecuencia un mayor enfriamiento. El área de salpicadura es el área más efectiva para la superficie húmeda, está dada por el curso que el agua tenga para entrar en contacto íntimo con el aire cuando este hace salpicar el agua. Se denomina aproximación a la diferencia entre la temperatura del agua enfriada y la temperatura del bulbo húmedo.

#### 1.3 - Principios del enfriamiento del agua en la torres.

Durante el enfriamiento del agua en las torres una parte del calor se transmite al aire atmosférico por cuenta de la evaporación superficial del agua (convertimiento de una parte del agua en vapor con transmisión de esta mediante la convexión y la difusión, al aire) la otra parte: por cuenta de la diferencia de temperatura entre el agua y el aire, o sea, la termo-entrega por contacto (conductividad térmica y convexión). Además cierta cantidad de calor se extrae del agua por cuenta de la radiacón. Sin embargo, el calor transmitido por la radiación es tan pequeño, en comparación con otros tipos de entrega de calor, que este puede no tomarse en consideración al conformar el balance

# Instituto Superior Minero Metalúrgico Facultad Metalúrgica Electromecánica

Hoja No. —

térmico de las torres.

De acuerdo a la teoría cinética de los gases el mecanismo del proceso de evaporización del agua desde la superficie de contacto con el aire puede ser representado de la forma siguiente: Las moléculas de agua se hallan en un desordenado movimiento, sus velocidades oscilan en un amplio rango. Aquella moléculas que poseen mayor velocidad ( precisemos, mayor energía cinética ) se separan en el espacio situado sobre la superficie del agua ( evaporización ), pudiendose separar del agua solo las moléculas más cercanas a la superficie del líquido, en la cual la componente de la velocidad normal a esta superficie es lo suficientemente grande y capaz de superar la fuerza de cohesión molecular. Las moléculas de agua se separan de la superficie, durante los choques con las moléculas de aire, varían la magnitud y la orientación de su movimiento. Cierta parte de las moléculas que se separan al chocar con las moléculas de aire pueden ser lanzadas de vuelta a la superficie del agua, condensandose. Una parte de las moléculas que se separan de la superficie del agua penetran en el aire como resultado de la difusión y la convexión y ya sin remedio se pierde en forma de vapor de agua. Esta es la esencia del proceso de evaporación que se acompaña con una transferencia de masa. Existe el concepto de velocidad de evaporación, la cual se determina .como una norma de cantidad de agua en unidad de iempo. Cuando son iguales las presiones parciales del agua el vapor, la velocidad de evaporación se considera igual

## Instituto Superior Minero Metalúrgico Facultad Metalúrgica Electromecánica

Hoja 910. —

a cero, aunque el proceso de paso de las moléculas de la fase líquida a la de vapor no concluye, sino que se compensa por completo con el proceso inverso de condensación o sea con el proceso de paso de las moléculas de vapor a la fase líquida.

De tal forma que la cantidad de moléculas que se evaporan representa la diferencia entre la cantidad de moléculas que se separan de la superficie del agua y la cantidad de moléculas de vapor que se condensaron en esta superficie por unidad de tiempo.

La temperatura del agua se determina por la energía cinética de las moléculas que están en movimiento térmico; a la temperatura más alta le corresponde la mayor energía cinética media de las moléculas. La energía media de las moléculas que abandonan el agua es mayor que la de las que se quedan, por esto la temperatura del agua que se queda, como resultado de la evaporación, va a disminuir.

La parte de la energía de las moléculas que salen del agua, que se gasta en superar la fuerza de atracción, y también la energía gastada en incrementar el volumen durante la evaporación, determinan el calor de evaporación.

Las moléculas que se separan de la superficie del agua con mucha lentitud pasan al grosor del aire. La velocidad de su difusión se mide en decenas y centenas de partes. Esta velocidad es infinitamente pequeña en comparación con aquellas que usan las moléculas para abandonar la superficie del agua. Como resultado ocurre una acumulación bastante

#### Instituto Superior Minero Metalúrgico Facultad Metalúrgica Electromecánica

Hoja 97. a. —

rápida ( casi instantanea ) de las moléculas de vapor en la capa de aire que está en contacto directo con la superficie de evaporación. La presión parcial en esta capa crece tanto que la velocidad de difusión de las moléculas de vapor en el grosor del flujo de aire es igual a la diferencia entre la velocidad máxima de evaporación y la velocidad de condensación inversa, o sea, la velocidad de evaporación del agua. De esta manera se puede llegar a la conclusión de que la velocidad de evaporación en el aire se determina no por la velocidad del proceso de formación de vapor, que ocurre en la superficie de separación de la fase, sino, por la velocidad de difusión de las moléculas de vapor en la fase gaseosa.

La cantidad de moléculas que regresan de nuevo al agua durante la evaporación con la presión atmosférica es menor que la cantidad de moléculas que se separan al mismo tiempo de la superficie de evaporación. Ante una gran cantidad de moléculas que se separen de la superficie, directamente sobre la superficie del agua se formará una capa de vapor casi saturado. Esta situación fue descrita por primera vez por "Steyan", el cual señaló que la diferencia entre la presión del vapor saturado y la presión parcial del vapor es muy pequeña.

Para calcular los procesos de enfriamiento con evaporación en la torre de enfriamiento con un grado bastante exacto se toma por "Steyan" que es la capa de aire situada directamente en la superficie del agua, donde se acumula tal

### Instituto Superior Minero Metalúrgico Facultad Metalúrgica Electromecánica

Hoja No. —

cantidad de moléculas de vapor que le corresponde el estado de saturación, la temperatura del vapor en este caso es igual a la temperatura media del agua. La diferencia entre las temperaturas en las superficies de las gotas y las capas de agua en su grosor, puede desestimarse puesto que en la torre las dimensiones de las gotas y el grosor de las capas son pequeñas y ocurre una mezcla intensiva del agua. Por consoguiente la presión parcial de los vapores de agua en la capa de aire adyacente directamente a la superficie del agua es igual a la presión del vapor saturado ante la temperaturea media del agua.

En caso general la masa fundamental del flujo de aire que se mueve sobre la superficie del agua en las torres de enfriamiento no está saturado con vapores de agua. Ante los valores de temperatura y presión, en las condiciones de trabajo de las torres de enfriamiento, se puede tomar que el vapor de agua se subordina a las leyes de los gases ideales, y entonces la presión parcial del vapor en la masa fundamental del flujo de aire a una temperatura puede presentarse como la multiplicación de la humedad relativa del aire por la presión del vapor de agua saturado.

#### 1.4 - Clasificación de las torres de enfriamiento.

Las torres de enfriamiento modernas se clasifican de acuerdo con los medios por los que se les suministra aire. Todas emplean hilera horizontales de empaque para suministrar gran superficie de contacto entre el agua y el aire. En la

### Instituto Superior Minero Metalúrgico Facultad Metalúrgica Electromecánica

Hoja No. — 15

torre de enfriamiento de tiro mecánico, el aire se suministra en dos formas; si el aire se succiona a través de la torre mediante un ventilador situado en la parte superior de la torre, a este se le llama tiro inducido. Si el aire se forza a través de un ventilador situado en el fondo de la torre y se descarga por la parte superior, es de tiro forzado. Las torres se dividen en dos tipos: Atmosféricas o de circulación natural y de tiro mecánico.

#### 1.4.1 - Torres de tiro mecánico.

Actualmente las torres de esta clase son las más comunes y de esta la gran mayoría son torres de tiro inducido. La preferencia hacia las torres de tiro inducido ha sido muy pronunciada, puesto que en su uso hay ventajas que exceden a todas las otras, excepto en condiciones muy especiales. En el tipo de tiro forzado, el aire entra a través de una abertura circular mediante un ventilador y debido a esto se debe suministrar una altura y volumen a la torre correspondiente a la inestabilidad relativa que se usa como entrada de aire. La distribución de aire es relativamente pobre, puesto que el aire debe dar una vuelta a 90° a gran velocidad. En la torre de tiro inducido, por otra parte, el aire puede entrar a lo largo de una o más paredes de las torres y como resultado, la altura requerida de la torre para la entrada de aire es más pequeña.

En la torre de tiro forzado el aire se descarga a baja velocidad a través de una gran abertura en la parte supe-

#### Instituto Superior Minero Metalúrgico Facultad Metalúrgica Electromecánica

Hoja No. —

rior de la torre. En estas condiciones el aire posee una carga de velocidad pequeña y tiende a asentarse en la trayectoria de entrada del ventilador. Esto significa que la succión de aire fresco se contamina con aire parcialmente saturado que ya ha pasado por la torre con anterioridad. Cuando esto ocurre se conoce como recirculación y reduce la capacidad de trabajo de la torre de enfriamiento. En la torre de tiro inducido el aire se descarga a través del ventilador a alta velocidad, de manera que se proyecta hacia arriba hacia la corriente natural de aire que evita su asentamiento posterior. Sin embargo, las torres de tiro inducido presentan caida de tensión en la toma del ventilador, lo que aumenta los requerimientos totales de enrgía. La alta velocidad de descarga de la torre de tiro inducido causa también algo más de arrastre o pérdida de agua por gotas que son arrastradas por la corriente de aire.

#### 1.4.2 - Torres de circulación natural.

Las torres de circulación natural o atmosféricas aprovechan las corrientes de aire atmosférico. El aire penetra por los rompevientos en una sola dirección, cambiando con la estación del año y las condiciones atmosféricas. En lugares expuestos que tienen vientos con velocidades promedio de 5 a 6 millas por hora, es decir, de 8.045 a 9.654 km / h, las torres atmosféricas pueden ser las más económicas y donde los costos de energía sean altos pueden ser preferibles a velocidedes de aire tan baja como de 2.5 a 3 millas por

#### Instituto Superior Minero Metalúrgico Facultad Metalúrgica Electromecánica

Hoja No. —

hora, lo que será igual a 900 m/seg a 1080 m/seg puesto que la corriente atmosférica penetra a todo en ancho de la torre. Las torres se hacen muy costosas en comparación con otros tipos.

Se han construido torres de este tipo que tienen más de 609.75 m de largo. Las pérdidas por arrastre se manifiestan a todo lo largo y son mayores que en otros tipos de torres. Este tipo usa los potenciales disponibles más ineficientemente, ya que opera un flujo cruzado y se sabe que el uso más efectivo de los potenciales es a contraflujo. Cuando se desea agua a una temperatura cercana a la de bulbo húmedo, este tipo es incapaz de producirla.

Las torres atmosféricas tienen consecuentemente un costo inicial alto debido a su tamaño y cuando hay calma deben dejar de operarse, sin embargo, tienen una gran ventaja, que eliminan el costo principal de operación de la torre de tipo mecánico, es decir, el costo de la energía para el ventilador.

El área con velocidad promedio de viento bajo, los cargos fijos y costo de operación contrarrestan sus ventajas. Un promedio de velocidad que exceda a los 8.045 a 9.654 Km/h no es indicación suficiente de que la torre atmosférica sea la mejor con un promedio de velocidad en el viento de 8.045 Km/h. La torre opera a menor capacidad que la de diseño parte del tiempo.

La localización de la torre en una localidad con vientos de 8.045 Km/h debe ser tal que no debe tener obstrucciones y Diploma

## Crabajo de Instituto Superior Minero Metalúrgico Facultad Metalúrgica Electromecánica

Hoja 970. -

debe aprovechar completamente la corriente existente. Las torres de tiro natural operan de la misma manera que la chimenea de un horno. El aire se calienta en la torre por el agua caliente con la que entra en contacto, de manera que su densidad baja. La diferencia entre la densidad del aire en la torre y el exterior origina un flujo natural del aire frio en la parte inferior y una expulsión del aire caliente menos denso por la parte superior.

Las torres de tiro natural deben ser altas para promover este efecto y deben tener sección transversal grande debido a la baja velocidad con que el aire circula comparada con las torres de tiro mecánico. Las torres de tiro natural consumen más energía para el bombeo, sin embargo, eliminan el costo de la potencia del ventilador y puede ser/ más aconsejable en algunas localidades que las torres atmosféricas. En las torres atmosféricas debe enfatizarse la característica del viento. En las torres de tiro natural la consideración primordial debe darse a las características del aire. Si es costumbre que el aire alcanze altas temperaturas durante el día, siendo menor con relación a la temperatura del agua caliente las torres de tiro natural cesarán de operar durante la parte caliente del día. Los costos iniciales y cargos fijos de estas torres son algo altos, por lo que han pasado de moda.

1.5 - Condiciones de proceso para torres de enfriamiento. Desde el punto de vista de corrosión de tubos, 120 °F es la Crabajo de Diploma

### Instituto Superior Minero Metalúrgico Facultad Metalúrgica Electromecánica

Hoja No. —

máxima temperatura a la que el agua de enfriamiento emerge ordinariamente de los equipos tubulares. Algunos de los productos líquidos en una planta se enfrían por debajo de 120 °F para prevenir un cruze apreciable de temperatura dentro del equipo tubular. La temperatura del agua en una torre de enfriamiento raramente excede los 120 °F siendo usualmente menor. Cuando la temperatura del agua de un proceso está sobre 120 °F la evaporación adicional puede justificar el uso de un enfriador atmosférico que prevea el contacto directo entre el agua caliente y el aire.

La diferencia entre la temperatura del agua a la salida de la torre y la temperatura de bulbo húmedo se llama aproximación. Puesto que muchas torres de enfriamiento operan casi sobre el mismo rango de agua, la aproximación es el indice principal de qué tan dificil será la operación, así como una indicación del número de unidades de difusión que se requieran. En el estudio de las torres a veces se tiene la impresión de que la torre no puede operar cuando temperatura del aire a la entrada esté a la altura del bulbo húmedo. Esto por supuesto no es así, cuando el aire a la temperatura del bulbo húmedo entra en la torre, recibe calor proveniente del agua caliente y su temperatura aumenta por lo que ya no se está saturando. Entonces el agua se evapora continuamente en el aire a medida que este se desplaza hecia arriba en la torre. Una de las características apreciables en la torre de enfriamiento se conoce como producción de niebla, cuando el aire caliente saturado

Liploma

# Instituto Superior Minero Metalúrgico Facultad Metalúrgica Electromecánica

Hoja No. —

a la salida de la torre se descarga en la atmósfera fría, ocurre condensación. Esto puede causar una niebla densa que al descender sobre una porción de la planta incrementa los riesgos de seguridad. Si se toman precausiones durante el diseño inicial, la condensación puede producirse por medio de la disminución de la temperatura de salida del aire, si se desea mantener un rango fijo para el agua de enfriamiento en enfriadores y condensadores. La niebla puede reducirse mediante recirculación de parte del agua del depósito hacia la parte superior de la torre donde se combina con el agua caliente de los enfriadores y condensadores. Este reduce la temperatura del agua en la torre, mientras que la térmica permanece igual.

El principal gasto de la operación además de la inversión inicial, será el de bombeo para recircular el agua que no entra en los enfriadores y condensadores.

#### 1.5.1 - Determinación del número de unidades de difusión.

El número de unidades de difusión está determinado unicamente por las condiciones del proceso impuesto a la torre y no por el comportamiento propio de la torre. Se deben poner en contacto con cantidad de agua a una temperatura de entrada determinada y una cantidad de aire a un bulbo númedo dado. Se requiere en cualquier tipo de torre, ya sea empacada o vacía la altura de la torre, que es capaz de preveer un número predeterminado de unidades de difusión.

Liploma

# Instituto Superior Minero Metalúrgico Facultad Metalúrgica Electromecánica

Hoja No. <sup>21</sup>

y gas.

Puesto que la temperatura del agua no es una función simple de H y H1 es más conveniente efectuar la integración de la siguiente ecuación:

$$Nd = \frac{dT}{cH' - H}$$

$$Nd = -Kx * a * -\frac{V}{2}$$

por medios gráficos o numéricos. El medio gráfico es el más indicado, ya que el número es más aceptable cuando la aproximación sea pequeña. ( diferencia de temperatura entre el bulbo húmedo y la temperatura de salida del agua ), / por eso es que explicamos como es que se realiza el método gráfico: La entalpía de saturación tabuladas H' para el aire, se grafica contra la temperatura del agua en el rango de la torre. Los valores de saturación de H' forman una curva que son los valores del aire saturado a la temperatura del agua, la que se puede considerar que pertenece a la película de aire saturado en la superficie del agua, ya que la entalpía de saturación también incluye las humedades saturación. Esta linea equivale a la presión de vapor de agua fuera de esta. Como la entalpía del aire a la entrada H1 se conoce o puede determinarse fácilmente, para determinar H2 se calcula por la siguiente ecuación:

#### Instituto Superior Minero Metalúrgico Facultad Metalúrgica Electromecánica

Hoja No. —

Como una ayuda deberá aclararse que el área en la gráfica entre la curva de saturación y la linea de operación es una indicación del potencial que promueve la transferencia total de calor. Un cambio en las condiciones del proceso, de tal manera que la linea de operación se mueva hacia abajo para incluir una mayor área entre ella misma y la linea de saturación, significa que menos unidades de difusión y menor altura se requieren para cualquier tipo de torre. A cualquier temperatura en la columna entre T1 y T2, el potencial que expulsa el calor fuera de la película saturada en la superficie del agua hacia el aire saturado es , la diferencia entre el valor de H7 y H en ese punto. Tomados pequeños incrementos de T y dividiendo por la diferencia promedio de H' - H para el incremento, se tiene el número de unidades de difusión requerido para el cambio en la temperatura del agua. Cuando los intrementos se suman, el cambio total de la temperatura del agua da el valor total de unidades de difusión. Como ya se mencionó el punto de la linea de operación H1 se obtiene de la condición atmosférica que entre à la torre por la parte inferior.

Para la determinación del número de unidades de difusión se realizan los pasos que a continuación se exponen:

1.- Se toman los datos de garantía de la torre de enfriamiento dados por el fabricante, tales como:

#### Instituto Superior Minero Metalúrgico Facultad Metalúrgica Electromecánica

Hoja No. —

- temperatura del bulbo húmedo.
- temperatura de salida del agua.
- temperatura de entrada del agua.
- flujo de agua que entra a la torre.
- capacidad del ventilador.
- área transversal de la torre.
- 2.- Se determina la entalpía del aire a la entrada con la temperatura de bulbo húmedo.
- 3.- Se halla la velocidad másica y la carga líquida, posteriormente la fracción L/G.
- 4.- Después se calcula la entalpía del aire a la salida según:

$$Hs = \cdot He + --- ( Te - Ts ).$$

- 5.- Se ponen los puntos He y Hs en la gráfica y se traza la pendiente entre ambos puntos. En dicha gráfica se construye también la curva de saturación del aire contra la temperatura del rango de la torre.
- 6.- Se determina el potencial para la transferencia de calor segun:

$$Nd = Kx * a * -\frac{V}{2}$$

por medio de una integración numérica.

Si se desea hallar las unidades de difusión para una torre que trabaja con parámetros diferentes a los de garantía y se desea saber si la torre es capaz de enfriar la mismna cantidad de agua, er caso que se den estos parámetros, se realizarán los cálculos que a continución relacionamos:

#### Instituto Superior Minero Metalúrgico Facultad Metalúrgica Electromecánica

Hoja 970. <u>24</u>

- Se toman los valores actuales de trabajo de la torre,
Tbh, Ts, Te y se realizan con estos parámetros los pasos
2, 4, 5, y 6 de la metodología dada anteriormemote.

#### 1.6 - Construcción de las torres de enfriamiento.

En la parte superior de la torre de enfiamiento va incluida una instalacin de lluvia a la que se conduce el agua caliente. La estructura superior de la torra tiene forma de chimenea, de modo que el aire aspirado lateralmente por debajo, atraviesa la lluvia de agua caliente, la enfría y el aira caliente sale por la chimenea. El agua enfriada se recoge en un depósito colector situado debajo de la torre. En este depósito de hormigón armado se apoya la instalación de lluvia. El andamiaje se construye de hormigón de gran compacidad pués el agua gotea constantemente sobre el mismo, y en consecuencia se encuentra en malas condiciones de soportar las influencias externa. La circulación del agua de servicio, en circuito cerrado, provoca generalmente el enriquecimiento de la misma en anhidridos sulfurosos, que acabarán destruyendo al hormigón. Las paredes interiores del depósito deben proyectarse en un buen impermeable.

Las construcciones sobre el depósito colector, primeramente se hacen de madera, más tarde en las grandes torres de enfriamiento de acero con revestimiento de madera. Esta instalación dura poco, pués con el aire húmedo la madera se pudre y el acero se oxida, por ello hoy está generalizada la construcción con hormigón armado. La intensa exposición

Crabajo de D**i**ploma

### Instituto Superior Minero Metalúrgico Facultad Metalúrgica Electromecánica

Hoja 97o. <sup>25</sup>

calor por los vapores ascendentes hace necesario e1 empleo de un hormigón compacto de telametálica de acero, de mallas estrechas. La superestructura en forma de torre hormigón armado suele consistir en una chimenea cilindrica o prismática, que descanza en la infraestructura, por tanto en la instalación de lluvia, para el enlace de la chimenea con la infraestructura, es necesario a veces un cuerpo intermedio cupoliforme. La construcción de la chimenea de la torre exige encofrado y andamiajes importantes. Para evitarlo se recurre a la construcción con bloques o ladrillos de hormigón de formas especiales y armadura longitudinal y transversal, incluidas en los huecos de los bloques y en la junta, además es conveniente forrar el interior de la torre con un bloeur monier, para impedir el paso de humedad.

Las grandes torres de enfriamiento se construyen actualmente en forma de hiperboloide. El diámetro interior de
estas torres llega hasta 55 m, la altura sobre el depósito
colector hasta 68 m, el espesor de las paredes de la torre
hasta 13 cms. El hiperboloide se apoya sobre un sistema
circular de soporte, dispuesto en diagonal, que llega a
tener hasta 8 m de altura. Por esta torre entra una gran
cantidad de aire que entra por los soportes diagonales de
la zona inferior y abandona la torre por su boca superior.
Todas las aristas de los soportes diagonales deben corresponderse, así como la de los dinteles del aro de apoyo para
favoracer al circulación del aire. La instalación interior

### Instituto Superior Minero Metalúrgico Facultad Metalúrgica Electromecánica

Hoja No. <sup>26</sup>

de lluvia ( de madera o de hormigón armado ) tiene una altura sobre el depósito colector de 12 m.

#### 1.6.1. Ubicación de las torres de enfriamiento.

La elección de la ubicación de la torre de enfriamiento y la orientación, se deben determinar por las condiciones siguientes:

- 1.- Situar la torre de modo que el aire circule y se difunda libremente y rápidamente sin recirculación.
- 2.- Situar las torres lejos de fuentes de calor o aire contaminado; tales como; chimeneas de humo, de polvo y otros gases.
- 3.- Situar las torres lejos de áreas en que sea rechazada la humedad fácilmente con el tiro.
- 4.- Situar las torres distantes o a nivel más alto de los espacios ocupados a sus alrededores, cuando existan bajos niveles de sonidos ambientales.

Arabajo de Diploma

## Instituto Superior Minero Metalúrgico Facultad Metalúrgica Electromecánica

Hoja No. <u>27</u>

CAPITULO II. Método de evaluación y comportamiento de las torres de enfriamiento del ciclo II de la Fábrica de níquel Cmdte Ernesto Che Guevara.

2.1- Comportamiento y evaluación para las condiciones de diseño.

Según los datos climatológicos suministrados por la parte cubana y los cálculos realizados por la parte soviética , se dan a continuación las características de proyecto de las torres de enfriamiento del ciclo II de la fábrica Cmdte Ernesto Che Guevara.

Tbs = 32 °C L = 6 m³/m².h

Tbh =  $28^{\circ}$ C A =  $144 \text{ m}_2$  por torre

Q = 72 % # torres = 6

Tsa = 32 C Ga = 11 000 000 mg/h por torre

Tea = 49 °C Gelt = 5 357 ma/h ( pág 19 proyecto )

q1 = 5.3 % N = 75 KW cada ventilador

q2 = 2.55 % Cada torre tiene 18 tubos

q3 = 0.5 % Cada tubo tiene 18 rociadores

Pb =  $5.7 \text{ Kgf/cm}_2$ 

Pb 6.1 = 2 Kgf/cm2

Gslb = 3 150 m<sub>3</sub>/h cada bomba según la curva característica de la bomba.

Gs1 = 6 622 ma/h

Diploma

## Prabajo de Instituto Superior Minero Metalúrgico Facultad Metalúrgica Electromecánica

Hoja 97a. 28

El número de torres se calcula según la siguiente fórmula:

m<sup>3</sup> de agua a enfriar

L. . A

5 357 m<sup>3</sup>/h

 $(6 \text{ m}^3/\text{m}^2.\text{h}) (144 \text{ m}^2)$ 

Esto era según proyecto del año 1974, se proyectaron 7 torres y se construyeron posteriormente, no obstante teniendo en cuenta las modificaciones hechas hasta febrero del año 1988 ( según plano AD-1835 ) la cantidad de agua a enfriar en el ciclo II aumentó a 6070 m³/h.

Entonces el número de torres necesarias serian:

6 070 m3/h - = 7.03 secciones o torres  $(6 \text{ m}^{9}/\text{m}^{2}.\text{h}) (144 \text{ m}^{2})$ 

Según el proyecto cada rociador deberá trabajar con una presión de entrada del agua de 3 Kgf/cm² para alcanzar su máxima eficiencia según la cual pasaría 3.5 m³/h y lograría un radio de pulverización de 0.715 mm. ( El radio de pulverización y el flujo a pasar se hallan con la presión con ayuda del gráfico dado por proyecto ). Ver gráfico No. I. Si son siete secciones y cada sección tiene 18 tubos y cada tubo 18 rociadores, entonces la cantidad de rociadores es: ( 18 tubos ) . ( 18 rociadores ) . ( 7 secciones ) = 2 268rociadores.

La cantidad máxima de agua a pasar sería de :

 $(2.268 \text{ rociadores}) \cdot (3.5 \text{ m}^3/\text{h}) = 7.938 \text{ m}^3/\text{h}.$ 

Según proyecto la presión de entrada del agua en la bomba B 6.1 a la entrada de la torre es de 2 Kgf/cm² lo que corresponde a  $3.06 \text{ m}^3/\text{h}$  por rociador y un radio de 0.615 mm, según gráfico del plano, lo cual da un flujo máximo de:  $(2.268 \text{ rociadores}) \cdot (3.006 \text{ m}^3/\text{h}) = 6.940 \text{ m}^3/\text{h}$ .

Según la curva característica de la bomba, para una presión de salida del agua de 5.7 Kgf/cm² la bomba es capaz de entregar 3 150 m³/h, por lo tanto el número de bombas en operación a trabajar sería de:

$$6 622 \text{ m}^3/\text{h}$$
  
= 2.1 bombas.  
3 150 m<sup>3</sup>/h

La eficiencia promedio de las torres del ciclo II sería:

donde:

Tbs + 2 . Tbh + Tea

4

32 + 2 . (28) + 49

Tp = 
$$\frac{32 + 2 \cdot (28) + 49}{4}$$

entonces

$$p = \frac{49 - 34.25}{49 - 28} = \frac{100}{28}$$

$$p = 70.24 \%$$

La eficiencia real de las torres sería de:

Liploma

# Instituto Superior Minero Metalúrgico Facultad Metalúrgica Electromecánica

Hoja No. <u>30</u>

$$r = \frac{\text{Tea} - \text{Tsa}}{\text{Tea} - \text{Tbh}} \cdot 100$$

$$r = \frac{49 - 32}{49 - 28} \cdot 100$$

$$r = 80.95 \%$$

Vamos a calcular la carga de aire de una sección o torre, la que va a ser igual a la carga de todas las torres de este ciclo.

Ga = 1 100 000 m3/h

 $A = 144 \text{ m}^2$ 

 $G = 7.638.89 \, \text{m}^3/\text{m}^2.h$ 

Para llevar m³/m².h a Kgf/m².h hay que multiplicar el número calculado por la densidad en Kg/m³. Para ello con Tbs se busca en la tabla 17.2 del "Kern" el volumen específico de la mezcla de aire + agua.

Entonces con Tbs = 32 °C encontramos que el volumen específico de la mezcla de aire + agua es de 14.53 pies3/Lb, llevando esto al sistema internacional da 0.907 m³/Kg que hallando su inverso da la densidad de la mezcla que no es mas que 1.10244 Kg/m³, entonces;

 $G = (7.638.89 \, \text{m}^3/\text{m}^2.\text{h}) \cdot (1.10244 \, \text{Kg/m}^3)$ 

 $G = 8 421.4179 \text{ Kg/m}^2.h$ 

## Ciabajo de Instituto Superior Minero Metalúrgico Diploma Facultad Metalúrgica Electromecánica

Hoja No. 31

Llevando L = 6 m³/m².h a Kg/m² debemos tener en cuenta que 1 ton = 1 m³ de agua por lo tanto 1 m³ = 1 000 Kg entonces:  $L = (6 \text{ m}^3/\text{m}^2.\text{h}) \cdot (1000 \text{ Kg/m}^3)$  $L = 6 000 \text{ Kg/m}^2.h$ 

Calculando --- tenemos que:

Vamos a calcular la entalpía del aire que entra a la torre. Con Tbh = 28 °C buscamos la presión de saturación del agua que tiene la mezcla de aire - agua con la ayuda de la tabla de vapor y hallamos que el valor de Pw = 0.003853 Kg/cm². Ahora calcularemos la cantidad de agua que entra con el volumen de aire, según la siguiente ecuación:

$$X' = \frac{0.03853 \text{ Kg/cm}^2}{1.033 \text{ Kg/cm}^2 - 0.03853 \text{ Kg/cm}^2}$$
 18

X' = 0.024 Kg de agua / Kg de aire seco

Diploma

# Prabajo de Instituto Superior Minero Metalúrgico Facultad Metal úrgica Ele ctromecánica

Hoja 97a. 32

Calculamos la entalpia del aire a la entrada de la torre según la siguiente formula:

$$H1 = X'$$
 . Ths  $+ X'$  .  $\lambda$  + Cpa . Ths

El calor específico del aire es de €pa = 0.24 KCal/Kg C.

El valor del calor latente promedio de vaporización \lambda se halla para el vapor de agua que está en el aire a Tbh = 28 °C y se busca em la tabla de vapor saturado del "Vukalovitch" en la página 98.

#### donde:

 $\lambda = 581.5 \text{ KCal/Kg.}$ 

#### entonces;

H1 = ( 0.024 Kg de agua/Kg aire seco ) . ( 28 °C ) +

( 0.024 Kg de agua/Kg aire seco ) . ( 581.5 KCal/Kg )

+ ( 0.024 KCa1/Kg°C ) . ( 28 °C )

H1 = 21.34 KCal/Kg de aire seco

Ahora estamos en condiciones de calcular la entalpía de salida del aire de la torre, según la siguiente ecuación:

H2 = 21.34 KCall/Kg + 0.71 ( 49 °C - 32 °C )

H2 = 33.41 KCal /Kg

Pasamos a calcular la entalpía de la mezcla de aire + agua desde uma temperatura de 25 °C hasta 50 °C que compremde el rango entre la temperatura de entrada del agua hasta la salida de esta de la torre con vista a obtener la line-a de saturación.

Arabajo de Diploma

#### Instituto Superior Minero Metalúrgico Facultad Metalúrgica Electromecánica

Hoja No. <u>33</u>

donde:

$$H1 = X'$$
 . Ths  $+ X'$  .  $\lambda$  + Cpa . Ths

y Pw se busca en la tabla de vapor saturado del "M.P.Vukalovitch" página 98. según la temperatura.

 $M_W = 29$ 

Ma = 18

 $Pt = 1.033 \text{ Kg/cm}^2$ 

cuando T = 25 °C

H1 = 0.02 Kg de agua / Kg de aire seco . 32  $\circ$ C

 $\pm$  0.02 Kg de agua / Kg de aire seco . 583.2

+ 0.24 KCal/Kg de aire . 32 °C

H1 = 18.16 KCal/Kg de aire.

Ver tabla No 1.

Ahora podemos graficar la linea de saturación de las torres del ciclo II en una gráfica de H contra temperatura del agua. Ver gráfica No IIa

Después de graficar la linea de saturación de la torre del ciclo II, vamos a calcular el número de unidades de difusión de las torres. Para ello utilizaremos el método de integración numérica.

Los valores de H2 se calculan según la fórmula siguiente: H2' = H' + --L/G . ( T2 - T1 ) para cada valor de Ta . con L/G = 0.71

 $H2' = 21.34 + 0.71 \cdot (32 - 31)$ 

H2' = 22.05 KCal/Kg

Ver tabla No 2.

Diploma

# Crabajo de Instituto Superior Minero Metalúrgico Facultad Metalúrgica Electromecánica

Hoja 97<sub>0.</sub> 34

Luego de hacer todos los cálculos que aparecen en esta tabla podemos calcular nd mediante la siguiente fórmula.

Cálculo de las pérdidas de agua de las torres del ciclo II.

Las pérdidas tecnológicas son por proyecto del 5.3 %.

Si el flujo de agua que entra en la torre es de 6070 m³/h, entonces el bombeo inicial debería ser de:

entonces:

Si cada bomba bombea 3 150 m³/h para mantener 5.7 Kgf/cm², según la curva característica, entonces son necesarias:

$$6 409 \text{ m}^3/\text{h}$$
  
-----= 2.03 bombas.  
3 150 m $^3/\text{h}$ 

Las pérdidas por evaporación serán de:

Si Tbh a la salida de la torre es de 36.9 °C según el gráfico Hvs.t y consideramos que el aire sale saturado de la torre, entonces;

37 °C	0.06398	38	0.04755
38 °C	0.06755	36.9	0.003241
1 °C	0.00357	1 - 1	0.06430

Prabajo de Diploma

#### Instituto Superior Minero Metalúrgico Facultad Metalúrgica Electromecánica

Haja No. <u>35</u>

X = 0.00324

Pw = 0.06430 Kg/cm² presión de saturación del vapor.

La humedad en el aire de salida de la torre X será de:

$$X = \frac{Pw}{Pt} - Pw$$
 Ma
$$X = \frac{0.06430}{1.033 - 0.06430}$$
 18
$$X = \frac{1.033 - 0.06430}{29}$$

X = 0.04119 Kg de agua / Kg de aire seco

$$\Delta X = G - \frac{(X - X')}{1000} = 1100000 - \frac{(0.04119 - 0.024)}{1000.(0.881)}$$

 $\Delta X = 21.463 \text{ m}^3/\text{h} \text{ para la sección.}$ 

35 ℃	0.873 m³/Kg	40	0.887
40 °C	0.887 m³/Kg	37.9	0.00588
sente sente tanon senta spec annua oppio	mande menne Miller berden berden benden benden benden berden berden berden berden benden benden	MODEL WHERE PRINT DRIVE SHARE SHARE	becce overa drawn denies serves excess denies among among
E-re- *	0.014	2 . 1	0.881

X = 0.00588

Como son siete secciones entonces;

(  $21.463 \text{ m}^3/\text{h}$  ) .  $7 = 150.241 \text{ m}^3/\text{h}$  de pérdidas por evaporación que equivale a:

 $150.241 \text{ m}^3/\text{h}$  = 2.47 % 2.55 % por datos del proyecto 6070 m³/h

Si las pérdidas por arrastre mecánicos por proyecto son del 0.5 % entonces;

6070 - 150.241 = 5919.759 m3/h

( 5919.759 ) . ( 0.5 % ) = 29.59 m<sup>3</sup>/h

Las pérdidas totales serian de:

Crabajo de Diploma

## Instituto Superior Minero Metalúrgico Facultad Metalúrgica Electromecánica

Hoja No. <u>36</u>

339 + 150.241 + 29.59 = 518.831 m3/h

En un día (24 horas) la cantidad de agua de reposición sería de:

( 518.831 ) . 24 = 12 451.944 m³ diarios.

# 2.2- Comportamiento y evaluación para las condiciones reales de trabajo de las torres.

Según los datos climatológicos obtenidos mediante una prueba realizada y los cálculos efectuados en base a estos datos, se dan a continuación las características reales del ciclo II de las torres de enfriamiento de la fábrica de niquel Cmdte Ernesto Che Guevara.

Cantidad de m³ de agua a enfriar = 6 070 m³/h L = 6 m³/m².h A = 144 m²

#### 1. El número de torres se calcula:

 $m^{3}$  de agua a enfriar 6 070  $m^{3}/h$  = 7.03 Secc L . A 6  $m^{3}/m^{2}.h$  . 144  $m^{2}$ 

#### 2. La eficiencia promedio de las torres es igual a:

$$\gamma_p = \frac{\text{Tea} - \text{Tp}}{\text{Tea} - \text{Tbh}}$$
 . 100

donde:

Thus 
$$+2$$
. Thus  $+$  Tea

#### 2.1. Temperatura promedio para cada hora.

#### 2.2. Eficiencia promedio para cada hora.

$$\sqrt{p3} = \frac{39.18 - 30.54}{39.18 - 26.22} \cdot 100 = 66.66 \%$$

$$\sqrt{p4} = \frac{38.76 - 30.06}{38.76 - 26.01} \cdot 100 = 68.23 \%$$

#### 3.- Eficiencia real de las torres.

#### 3.1- Eficiencia real para cada hora.

$$\sqrt{r9} = \frac{39.04 - 32.29}{39.04 - 25.59} \cdot 100 = 50.18 \%$$

$$\sqrt{r10} = \frac{40.07 - 29.3}{40.07 - 25.86} \cdot 100 = 75.79 \%$$

$$\sqrt{r11} = \frac{38.17 - 28.28}{38.17 - 25.20} \cdot 100 = 76.25 \%$$

$$\sqrt{r12} = \frac{38.22 - 29.35}{38.22 - 26.29} \cdot 100 = 74.35 \%$$

$$\sqrt{r1} = \frac{39.54 - 29.3}{39.54 - 26.46} \cdot 100 = 78.28 \%$$

$$\sqrt{r2} = \frac{38.82 - 29.45}{38.82 - 26.63} \cdot 100 = 76.86 \%$$

$$\sqrt{r3} = \frac{39.18 - 29.56}{39.18 - 26.22} \cdot 100 = 74.22 \%$$

$$\sqrt{r4} = \frac{38.76 - 29.64}{38.76 - 26.01} \cdot 100 = 71.52 \%$$

#### 4.- Carga de la torre ( líquida ) L.

 $G = 2 291 \text{ m}^3/\text{h} = \text{para una sección} = 697.75 \text{ m}^3/\text{h}.$ 

```
A = 144 m2.
   L = G para una sección / A para las 9.00 am.
      697.75
       144
  L = 4.84 m3/m2.h
  L = 4 840 \text{ Kg/m}^2.h
 5.- Carga gaseosa de la torre ( G )
 Qa = 1 002 240 m³/h
 Ve 66
1 002 240
G = ____
    . 144
G = 8 791.58 \text{ m}^3/\text{m}^2.\text{h}
para llevar de m³/m².h a Kg/m².h, con Tbs = 29.99 °C, se
busca en la tabla 17.2 del "Kern" el volumen específico.
Tbs = 29.99 °C + 32 = 61.99 °F
Con esta temperatura en °F buscamos el volumen específico
de la mezcla de agua + aire, que ser<sup>a</sup> igual a 13.40
pies3/Lb, o sea, 0.8347 m³/Kg y hallando su inverso, nos da
la densidad de la mezcla que es igual a 1.1980 Kg/m³.
G = 8791.58 m³/m².h . 1.1980 Kg/m³
B = 10 532.31 \text{ Kg/m}^3.h
L 4840
                -- = 0.4595
G 10 532.31
```

# Instituto Superior Minero Metalúrgico Facultad Metalúrgica Electromecánica

Hoja No. <u>40</u>

Luego pasamos a calcular:

- Entalpía de la entrada del aire ( H1 ).
- Entalpía de la salida del aire (H2)
- Humedad del aire que entra ( X' )
- Con la diferencia de temperatura del bulbo húmedo buscamos la Pw en la tabla de vapor saturado del "M.P.Vukalovitch". página 98.

Según las siguientes ecuaciones:

$$H1 = X'$$
 .  $Tbh + \lambda X' + Cpa$  .  $Tbh$ 

$$H2 = H1 + L / G (Tea - Tsa)$$

$$X' = \frac{PW}{Pt - PW} \frac{MW}{Ma}$$

Luego, tabulamos; ver tabla No 3. Ahora con esta tabla ya podemos graficar la linea de operación para cada hora; ver gráficos III, IIIa, IIIb, IIIc, IIId, IIIe, IIIf, IIIg.

Con la temperatura en grados centígrados de entrada y salida para cada hora y en la tabla de vapor buscamos la Pw, , y calculamos X' y H1 por la siguiente fórmula.

$$X' = - PW \qquad MW$$

$$Pt - PW \qquad Ma$$

 $H1 = X' \cdot T + X' \cdot \lambda + Cpa \cdot T'$ 

entoces tabulamos; ver tabla No 4.

Ahora pasamos a calcular el número de unidades de difusión para cada hora y para diferentes L/G según la siguiente fórmula:

Diploma

# Labajo de Instituto Superior Minero Metalúrgico Facultad Metalúrgica Electromecánica

Hoja No. 41

H\*\* = H1 + L/G (T2 - T1) = 18.73 + 0.46 (33 - 32.29)19.05

 $Nd = \frac{1}{2} dt / (H1 - H) / 2$ 

Nd = 0.612

Ver tabla No 5, 5.1, 5.2, 5.3, 5.4, 5.5, 5.6, 5.7 y con estas podemos graficar la linea de saturación para cada hora ver gráficas I, Ia, Ib, Ic, Id, Ie, If, Ig. Luego tabulamos para hacer una comparación entre los datos por diseño y los reales al que está trabajando la torre. Ver tabla No 6.

Luego pasamos a calcular la humedad de salida del aire la torre para diferentes horas.

Cálculo de la humedad de salida del aire de las torres un turno (8 horas).

- 9.00 am -

Tbh = 33.53 °C. Suponemos que el aire está saturado Q = 100 % Presión del vapor saturado.

33 -0 0.05128 34 °C 0.05423 34 °C 0.05423 33.53 0.00138 0.47 0.00295 0.05284

0.47 X = 0.00138

PW = 0.05284

Diploma

# Prabajo de Instituto Superior Minero Metalúrgico Facultad Metalúrgica Electromecánica

Hoja 970. 42

Cálculo de la humedad en el aire de salida de la torre.

$$X = \frac{Pw}{Mw}$$

$$Y = \frac{Pw}{Ma}$$

$$Pt - Pw = Ma$$

Mw = 18Ma = 29

$$X = \frac{0.05284}{1.033 - 0.05284} \frac{18}{29}$$

X = 0.03346 Kg de agua / Kg de aire seco

- 10:00 am -

Tbh = 33.26 °C

Presión del vapor saturado Pw.

0.74 X = 0.002183

33 -0	0.05128	34 °0
34 °C	0.05423	33.26
***** ***** ***** ***** *****	Militie william dermen delmen delme delme delme delme spoot	
1	0.00205	0.74

0.052047

 $Pw = 0.05204 \text{ Kg/cm}^2$ 

Cálculo de la humedad del aire de salidad de la torre.

$$X = \frac{Pw}{Pt - Pw} \frac{Mw}{Ma}$$

 $M_{W} = 18$ Ma = 29

$$X = \frac{0.05204}{1.033 - 0.05204} \frac{18}{29}$$

X = 0.03292 Kg de agua / Kg de aire seco

- 11:00 am -

Tbh = 34.05 °C

Presión del vapor saturado Pw.

35 °C	0.05733	35 °C	0.05733
34 °C	0.05423	34.05	0.00294
1	0.0031	0.95	0.05438

# Qualitation de l'instituto Superior Minero Metalúrgico Diplama Facultad Metalúrgica Electromecánica

Hoja No. 43

$$0.95$$
  $X = 0.002945$ 

 $Pw = 0.05438 \text{ Kg/cm}^2$ 

Cálculo de la humedad del aire de salidad de la torre.

X = 0.03449 Kg de agua / Kg de aire seco

- 12:00 m -

Tbh = 34.17 °C

Presión del vapor saturado Pw.

35 °C .	0.05733	35	0.05733
34 °C	0.05423	34.17	0.002573
1	0.0031	0.83	0.054757
0.83	X = 0.00257	3	

 $Pw = 0.05475 \text{ Kg/cm}^2$ 

Cálculo de la humedad del aire de salidad de la torre.

$$Y = \frac{Pw}{V} = \frac{Mw}{V}$$
 Pt = 1.033 Kg/cm<sup>2</sup>  
 $Y = \frac{Pw}{V} = \frac{Mw}{V} = 18$   
Pt - Pw Ma Ma = 29

X = 0.0347383 Kg de agua / Kg de aire seco

- 1:00 pm -

Tbh = 33.9 °C

Presión del vapor saturado Pw.

34 °C

0.05423 34 °C 0.05423

Prabajo	de
Diplom	ia

### Instituto Superior Minero Metalúrgico Facultad Metalúrgica Electromecánica

Hoja 97a. -44

0.00295

$$X = 0.000295$$

 $Pw = 0.05393 \text{ Kg/cm}^2$ 

Cálculo de la humedad del aire de salidad de la torre.

$$X = \frac{Pw}{Pt - Pw} \frac{Mw}{Ma}$$

$$X = \frac{0.05393}{1.033 - 0.05393} \frac{18}{29}$$

X = 0.03418 Kg de agua / Kg de aire seco

- 2:00 pm -

Tbh = 34.24 °C

Presión del vapor saturado Pw.

35	-0
34	-C

0.0031

$$X = 0.002356$$

Pw = 0.05497 Kg/cm²

Cálculo de la humedad del aire de salidad de la torre.

$$Mw = 18$$
  
 $Ma = 29$ 

# Instituto Superior Minero Metalúrgico Facultad Metalúrgica Electromecánica

Hoja No. —

X = 0.03488 Kg de agua / Kg de aire seco

- 3:00 pm -

Tbh = 34.09 °C

Presión del vapor saturado Pw.

35 °C	0.05733	35 °C	0.05733
34 °C	0.05423	34.09	0.002821
DICES 20080 18700 00000 FIDE	START SHOWS HOUSE SHOULE ADDRESS COMPA STREET SPECIAL		DECIS MARGE STREET STREET MARKE SPORT SCHOOL SCHOOL SECTION SECTION
1	0.0031	0.91	0.054509
0.91	X = 0.00282	1	

 $Pw = 0.0545 \text{ Kg/cm}^2$ 

Cálculo de la humedad del aire de salidad de la torre.

$$PW = MW$$
 $X = \frac{PW}{Pt - PW} = \frac{MW}{Ma} = \frac{1.033 \text{ Kg/cm}^2}{MW = 18}$ 
 $Ma = 29$ 
 $0.0545$ 
 $Pt = 1.033 \text{ Kg/cm}^2$ 
 $Mw = 18$ 
 $Ma = 29$ 

X = 0.03457 Kg de agua / Kg de aire seco

- 4:00 pm -

Tbh = 33.86 ℃

Presión del vapor saturado Pw.

34 °C	0.05423	34 °C	0.05423
33 °C	0.05128	33.86	0.000413
1	0.00295	. 0.14	0.053817
0.14	Y = 0 000/11		

X = 0.00041

 $Pw = 0.05381 \text{ Kg/cm}^2$ 

Cálculo de la humedad del aire de salidad de la torre.

# Instituto Superior Minero Metalúrgico Facultad Metalúrgica Electromecánica

Hoja 970. 46

 $X = \frac{0.05381}{1.033 - 0.05381} \frac{18}{29}$ 

X = 0.03410 Kg de agua / Kg de aire seco Ver tabla No 7.

#### Instituto Superior Minero Metalúrgico Facultad Metalúrgica Electromecánica

Hoja 970. <del>48</del>

#### CONCLUSIONES

Podemos observar, según los cálculos, que la carga de las torres en condiciones actuales está por debajo de la carga de diseño, lo que nos dice que la torre es capaz de admitir una mayor cantidad de agua para su enfriamiento según diseño, esto se reafirma con los valores obtenidos aprovechamiento de la capacidad de las torres. Sin embargo podemos observar que a medida que aumenta la carga de la torre, la eficiencia de esta disminuye y viceversa; cuando la carga disminuye la eficiencia aumenta. Esto quiere decir que si nosotros aumentamos la carga a la torre, para obtener un aprovechamiento de su capacidad igual a la de diseño, tendríamos entonces una eficiencia mínima de la torre, lo que traería como consecuencia un aumento de temperatura de salida del agua. Esto se explica debido a que la torre se diseña para parámetros atmosféricos diferentes a las condiciones climáticas en que se encuentran actualmente y se sabe que las condiciones climáticas es uno de los parámetros más importantes que determinan el diseño construcción, así como la operación o comportamiento as torres de enfriamiento.

#### Instituto Superior Minero Metalúrgico Facultad Metalúrgica Electromecánica

Hoja No. <u>48</u>

#### RECOMENDACIONES

- 1.- Operar la torre con una carga aproximada o en el rango de L/G = 0.52 a 0.54, aunque el aprovechamiento de su capacidad con respecto a la de diseño esté entre el 74 y 76 %, lo que permitirá mantener una temperatura de salida del agua de la torre por debajo de los 30 °C.
- 2.- Que se implante el siguiente algoritmo como metodología en la planta de Servicios Energéticos para la evaluación del comportamiento de las torres de enfriamiento.
- 3.- Pedir a la Unión del Niquel que la presente metodología sea tomada como base para evaluar el comportamiento de las torres de la Unión, así como para valorar posibles ofertas para nuevas inversiones.
- 4.- A la dirección de la planta de Servicios Energéticos continuar el presente estudio y efectuar mediciones en el transcurso de los demás meses del año con vista a crear una carta de régimen de operación de dichas torres, de meses contra carga L/G que permita operar la torre a su máxima eficiencia de proyecto, tanto en el ciclo I como en el ciclo II.
- 5.- Realizar una tesis de grado en la que la presente metodología sea llevada a un programa de computación, el cual facilite la velocidad en la realización de los cálculos, loo cual permitirá conocer el comportamiento de las torres y tomar las medidas pperacionales para llevarlas a su máxima eficiencia.

#### Instituto Superior Minero Metalúrgico Facultad Metalúrgica Electromecánica

Hoja No. <u>49</u>

#### Bibliografía y referencia.

- 1.- Manual de conservación de la energía.
- 2.- Proceso de transferencia de calor. "Donal Keck".
- 3.- Propiedades termodinámicas del agua y el vapor. "M.P. Vukalovitch".
- 4.- Termodinámica. "Virgil Moring Faires".

#### Instituto Superior Minero Metalúrgico Facultad Metalúrgica Electromecánica

Hoja 970. <u>50</u>

#### Simbología adoptada y unidades.

Tbs	-Temperatura de bulbo seco	°C
Tbh	-Temperatura de bulbo húmedo	°C
9	-Humedad relativa	1/4
Tsa	-Temperatura de salida del agua de la torre	o.C
Tea	-Temperatura de entrada del agua a la torre	⇔C
q1	-Pérdida de agua tecnológica	%
q2	-Pérdida de agua por evaporación	%
q3	-Pérdida de agua por arrastre mecánico	%
1	-Carga líquida de la torre	m³/m².h
A	-Area de una sección de la torre	W.S
Ga	-Flujo de aire de un ventilador	m³/h
Gelt	-Flujo de agua de entrada de la torre	m³/h
G	-Flujo de aire de la torre	m³/h
N	-Potencia del ventilador	KW
Pb	-Presión de salida del agua de la bomba	Kgf/cm≟
Glsb	-Flujo de salida del agua de la bomba	m³/h
Gls	-Flujo de salida del agua del ciclo II	m³/h
Тр	-Temperatura promedio	•C
NP.	-Eficiencia promedio	1/4
NL	-Eficiencia real ,	%
Pw	-Presión de saturación del agua	Kgf/cm²
Pt	-Presión atmosférica	Kgf/cm²
MM	-Peso molecular del agua	
Ma	-Peso molecular del aire	
Сра	-Calor específico del aire	
12	-Calor latente promedio de vaporización	KCa1/Kg

# Instituto Superior Minero Metalúrgico Facultad Metalúrgica Electromecánica

Hoja 970. <del>---</del>

х′	-Humedad del aire que entra a la	Kg agua
×	-Humedad del aire que sale de la	Kg aire
^	torre	Kg agua
		Kg aire
H1 H2	-Entalpia de entrada del aire -Entalpia de salida del aire	KCal/Kg
nd	-Número de difusión	
8	-Volumen específico del aire a la	
	temperatura ambiente del bulbo hú-	
	medo	m³/Kg

#### Instituto Superior Minero Metalúrgico Facultad Metalúrgica Electromecánica

Hoja 970. —

Tabla No 1 Tabla para calcular las entalpias de la linea de saturación de la torre.

T	Pw	Pu Mw	2	H1 .
( ° C )	(Kg/cm2)	Pt-Pw Ma	(KCa1/Kg)	X'.Tbs+X'.λ+Cpa.Tbs-
25	.03:229	.020	583.2	18.15
26	.03-426	.021	582.6	19.02
27	.03634	.022	582.1	19.82
28	.03853	.024	581.5	21.34
29	.04083	.025	581.0	22.20
( 30	.04325	.027	580.4	23.68
31	.04580	.029	579.9	25.14
32	.04847	.030	579.3	26.01
33	.05128	.032	578.7	27.49
34	.05423	.034	578.2	28.97
35	.05733	.038	577.6	30.45
36	.06057	.038	577.0	31.93
.37	.06398	.040	576.5	33.42
( 38	.06755	.043	575.9	35.51
39	.07129	.046	575.3	37.61
40	.07520	.048	574.7	39.10
41	.07931	.051	574.1	41.21
42	.08340	.054	573.5	43.31
43	.08809	.057	572.9	45.42
44	.09272	.061	572.4	48.16
45	.09771	.064	571.8	50.27
46	.10284	.048	571.3	53.01
47	.10821	.072	570.7	55.75
48	.11382	.076	570.1	58.49
-49	.11967	.081	, 569.6	61.86
50	.12578	.086	569.0	65.23

# Instituto Superior Minero Metalúrgico Facultad Metalúrgica Electromecánica

Hoja No. —

Tabla No 2
Tabla para calcular segun el metodo de integracion numerica

	The same a real rate in the last			de integraci	ini inniierica
( C)	(KCal/Kg)	(KCal/Kg)	(KCa1/Kg)	(H1'-H2') av	(H1'-H2') av/dt
32	26.01	21.34	4.67	-	Name .
33	27.49	22.05	5.44	5.055	0.197
34	28.97	22.76	6.21	5.825	0.171
35	30.45	23.47	6.98	6.595	0.151
36	31.93	24.18	7.75	7.365	0.135
37	33.42	24.89	8.53	8.140	0.122
38	35.51	25.60	9.91	9.220	0.108
39	37.61	26.31	11.30	10.605	0.094
40	39.1	27.02	12.08	11.690	0.085
41	41.21	27.73	13.48	12.780	0.078
42	43.31	28.44	14.87	14.175	0.070
43	45.42	29.15	16.27	15.570	0.064
44	48.16	29.86	18.30	17.285	0.057
45	50.27	30.57	19.70	19.000	0.052
46	53.01	31,28	21.73	20.715	0.048
47	55.75	31.99	23.76	22.745	0.043
48	58.49	32.70	25.79	24.775	0.040
49	61.86	33.41	28.45	27.120	0.036
			The same of the sa	THE RESERVE OF THE PERSON NAMED IN COLUMN TWO IS NOT THE OWNER.	Continue to the Continue of th

Prabaja de Diploma

4:00

DM.

26.01

.05428

.0213

19.20

0.58

38, 76

29.64

29.56

39. 54

29.30

38, 22

29.36

24.50

30,17

28.28

23, 86

40.07

29.31

32.29

36. 82

29.45

### Instituto Superior Minero Metalúrgico Facultad Metalurgia Electromecánica

Hoja 970. -

	Tbh -	Pω		7	Η,	178
~	0	(Kg/cn2):-	gage 6	(KCal/Kg) (KCal/Kg)	KC11/Kg)	
9:00	25.59		.0207	582.84	10,73	0.46
10:00 ami	25, 86	. 033981	.0211	582.68	9.04	0.57
11:00 an	25, 20	.03268	.0202	583.08	22	0.56
12:00 m	26, 29	.03486	.0216	582.45	5	0.57
1:00 pa	26.46	.03521	.0219	582.37	19.68	0
2:00 pm	26, 63	0	.0221	582.28	19.84	0.55
3:00 pm	26. 22	.05471	.0215	582,491	19. 38	0.58
		THE PERSON NAMED IN COLUMN 2 I	a . Seco oben total com gen total constituti de	The same and the s	and the same time and and the same time to be the same to the same	

0

in in

N

0

#### Instituto Superior Minero Metalúrgico Facultad Metalurgia Electromecánica

Tabla No 4 Valores maximos y minimos de H1 para cada curva de saturación en cada hora.

T	Pw	X' Kg agua	2	H1'	Hora
(°C)	(Kg/cm2)	Kg aire	(KCa1/Kg)	(KLai/Kg)	
32.29	.049280	.031	579.47	26.71	9:00
39.04	.071440	.046	575.32	37.63	9:00
29.31	.041580	.026	580.81	22.86	10:00
40.07	.075480	.048	574.65	39.12	10:00
28.28	.039174	.024	581.36	21.41	11:00
38.17	.048180	.043	575.79	35.54	11:00
29.36	.041700	.026	580.78	22.91	12:00
38.22	.068370	.043	575.76	35.57	12:00
29.30	.041550	.026	580.82	22.89	1:00
39.54	.069170	.044	574.97	36.52	1:00
29.45	.041919	.026	580.73	22.93	2:00
38.82	.070610	.045	575.40	36.95	2:00
29.56	.042180	.026	580.66	22.96	3:00
39.18	.071990	.046	575.19	37.66	3:00
29.64	.042370	.026	580.61	22.98	4:00
38.76	.070390	.045	575.44	36.94	4:00

#### Instituto Superior Minero Metalúrgico Facultad Metalurgia Electromecánica

Hoja No. —

Tabla No 5 Numero de unidades de difusion. Hora: 9:00 am L/G = 0.46

(Ta)	(KCal/Kg)	(KCal/Kg)	H1'-H	(H1'-H)/2	dT/(H1'-H)/2
32.29	26.71	18.73	7.98	-	_
33.00	27.49	19.05	8.44	8.21	.086
34.00	28.97	19.51	9.46	8.95	.111
35.00	30.45	19.97	10.48	9.97	.100
36.00	31.93	20.43	11.50	10.99	.090
37.00	33.42	20.89	12.53	12.01	.083
38.00	35.51	21.35	14.16	3.34	.074
39.00	37.61	21.81	15.80	14.98	7066
39.04	37.63	21.83	15.80	15.80	.002

Nd = 0.612

Crabajo de Diploma

## Instituto Superior Minero Metalúrgico Facultad Metalurgia Electromecánica

Hoja No. —

Tabla No 5.1 Numero de unidades de difusion. Hora: 10:00 am L/G = 0.57

(°C)	(KCal/Kg)	(KCal/Kg)	H1'-H	(H1'-H)/2	dT/(H1'-H)/2
29.31	22.86	19.04	3.82	_	
30.00	23.68	19.43	4.25	4.04	.171
31.00	25.14	20.00	5.14	4.70	.212
32.00	26.01	20.57	5.44	5.29	, 189
33.00	27.49	21.14	6.35	5.90	.169
34.00	28.97	21.71	7.26	6.81	. 149
35.00	30.45	22.28	8.17	7.72	.129
36.00	31.93	22.85	9.08	8.63	.115
37.00	33.42	23.42	10.00	9.54	.104
38.00	35.51	23.99	11.52	10.76	.092
39.00	37.61	24.56	13.05	12.29	.081
40.07	39.12	25.16	13.96	13.51	.074

Tabla No 5.2 Numero de unidades de difusion. Hora: 11:00 am L/G = 0.56

HARRIET W. C		oe niinsi		d: TIIOO 6	AH L/0 - 0.00
(Ta)	(KCal/Kg)	(KCal/Kg)	H1'-H	(H11-H)/2	dT/(H1'-H)/2
28.28	21.41	18.33	3.08	_	- States
29.00	22.20	18.73	3.47	3.28	.219
30.00	23.68	19.29	4.39	3.93	.254
31.00	25.14	19.85	5.29	4.84	.206
32.00	26.01	20.41	5.60	5.44	. 183
33.00	27.49	20.97	6.52	6.06	. 165
34.00	28.97	20.53	7.44	3.98	. 143
35.00	30.45	22.09	8.36	7.90	.126
36.00	31.93	22.65	9.28	8.82	.113
37.00	33.42	23.21	10.21	9.74	.102
38.17	33.56	23.85	11.71	10.96	.106

## Instituto Superior Minero Metalúrgico Facultad Metalurgia Electromecánica

Hoja No. —

Tabla No 5.3 Numero de unidades de difusion. Hora: 12:00 m L/G = 0.57

(°C)	(KCal/Kg)	(KCal/Kg)	H1'-H	(H1'-H)/2	dT/(H1'-H
29.36	22.91	19.45	3.46	-	
30.00	23.68	19.81	3.87	3.66	.174
31.00	25.14	20.38	4.76	4.31	.232
32.00	26.01	20.95	5.06	4.91	.203
33.00	27.49	21,52	5.97	5.51	.181
34.00	28.97	22/09	6.88	6.42	. 155
35.00	30.45	22.66	7.79	7.33	.136
34.00	31.93	23.23	8.70	8.24	.121
37,00	33.42	23.80	9.62	9.16	. 109
38.22	35.57	24.50	11.07	10.34	.117

Tabla No 5.4 Numero de unidades de difusion. Hora: 1:00 pm L/G = 0.54

(Ta)	(KCal/Kg)	(KCal/Kg)	H1'-H	(H1'-H)/2	dT/(H1'-H)/2
29.30	22.89	19.68	3.21		-
30.00	23.68	20.05	3.63	3.42	.204
31.00	25.14	20.59	4.55	4.09	.244
32.00	26.01	20.13	4.88	4.71	.212
33.00	27.49	21.67	5.82	5.35	. 186
34.00	28.97	22.21	6.76	6.29	. 158
35.00	30.45	22.75	7.70	7.23	. 138
36.00	31.93	23.29	8.64	8.17	.122
37.00	33.42	23.83	9.59	9.11	.109
38.00	35.51	24.37	11.14	10.73	.093
39.54	36.52	25.20	11.32	11.23	.137

# Instituto Superior Minero Metalúrgico Facultad Metalurgia Electromecánica

Hoja No. —

			Tabla No	四 四			
Numero de	unidades	de difus	ion. Hora	2:00	pm	L/G =	0.55

(°C)	(KCal/Kg)	(KCal/Kg)	H1'-H	(H1/-H)/2	dT/(H17-H)/2
29.45	22.93	19.84	3.09	-	_
30.00	23.68	20.14	2.99	3.04	. 180
31.00	25.14	20.69	4.45	3.72	.268
32.00	26.01	21.24	4.77	4.61	.216
33.00	27.49	21.79	5.70	5.23	.191
34.00	28.97	22.3 4	6.63	6.16	.162
35.00	30.45	22.89	7.56	7.09	.141
36.00	31.93	23.44	8.49	8.02	.124
37.00	33.42	23.99	9.43	8.96	.111
38.82	36.95	24.99	11.96	10.69	.170

Crabajo de Diploma

## Instituto Superior Minero Metalúrgico Facultad Metalurgia Electromecánica

Hoja No. —

Tabla No 5.6 Numero de unidades de difusion. Hora: 3:00 pm L/G = 0.58

(°C)	(KCal/Kg)	(KCal/Kg)	H1'-H	(H1'-H)/2	dT/(H1'-H)/2
29.56	22.96	19.38	3.58	-	
30.00	23.68	19.63	4.05	3.82	.115
31.00	25.14	320.21	4.93	4.49	.227
32.00	26.01	20.79	5.22	5.08	. 197
33.00	27.49	21.37	6.12	5.67	.176
34.00	28.97	21.95	7.02	6.57	. 152
35.00	30.45	22.53	7.92	7.47	.133
36.00	31.93	23.11	8.82	8.37	.119
37.00	33.42	23.69	9.73	9.27	.107
38.00	35.51	24.27	11.24	10.48	.095
39.18	37.66	24.95	12.71	11.97	.098

## Instituto Superior Minero Metalúrgico Facultad Metalurgia Electromecánica

Hoja No. —

Tabla No 5.7 Numero de unidades de difusion. Hora: 4:00 pm L/G = 0.58

lagram to manufacture	( <sup>T</sup> c)	(KCal/Kg)	(KCal/Kg)	H1'-H	(H1'-H)/2	dT/(H1'-H)/2
delimente	29.64	22.98	19.20	3.78	***	
-	30.00	23.68	19.40	4.28	4.03	.089
house	31.00	25.14	19.98	5.16	4.72	.211
- American	32.00	26.01	20.56	5.45	5.30	.166
Consumation of the last	33.00	27.49	21.14	6.35	5.90	.169
- Hilliam	34.00	28.97	21.72	7.25	6.80	.147
The state of	35.00	30.45	22.30	8.15	7.70	.129
Santa Santa Santa	36.00	31.93	22.88	9.05	8.60	.116
Separate Sep	37.00	33.42	23.46	9.96	9.50	.105
professional party	38.76	36.94	24.48	12.46	11.21	.157

58

4.419

1.551

- 468 8

00

1.403

1.551

1.628

1.551

1.617

1.551

1.485

1.551

1.311

1.00

### Instituto Superior Minero Metalúrgico Facultad Metalúrgica Electromecánica

Hoja 91o. —

Hora	L/G   L/G   A PruebalDiseno de de	L/G A )isenoide ide	L/G : L/G : Aprovechamiento: Prueba:Disenoide la capacidad : ide la torre		응공	8 Fe R	diseno id
9:00 am!	45	. 71	64.78	29.86:	68. 251	50.18	80.95
10:00 am	.57!	.71	80, 28	30.35	68.40	75.791	80.95
11:00 am	.56	- 7	78.87	29.40	69. 15:	76.25	80.95
12:00 m	.57	.71	80. 28	30.37	65.80	74.35	80.95
1:00 pm:	- 5	- 7	76.05	30.80	66,81	78.281	80.95
2:00 pm:	- 5	- 7	77.46	30.70	66.61	76.86	80.95
3:00 pm	.500	.71	81.69	30.54	66.661	74.22	80.95
		Annual or one one other part and	the control and	THE WEST THREE STREET, MADE: 1940 HOURS MADE: 1	THE REAL PROPERTY AND THE PERTY AND THE PERT		

0.612

1.551

# unidades de difusion por diseno (Nd)

Liplama

## Instituto Superior Minero Metalúrgico Facultad Metalurgia Electromecánica

Tabla para calcular segun el metodo de integración numerica

Hora	X'	X	G	81	dX
9:00 am	.0207	.03346	1002240	.868	14.73
10:00 am	.0211	.03292	1002240	.868	13.64
11:00 am	.0202	.03449	1002240	.870	16.46
12:00 m	.0216	.03473	1002240	.870	15.12
1:00 pm	.0219	.03418	1002240	.869	14,16
2:00 pm	.0221	.03488	1002240	.870	14.72
3:00 pm	.0215	.03457	1002240	.870	15.05
4:00 pm	.0213	.03410	1002240	.869	14.76

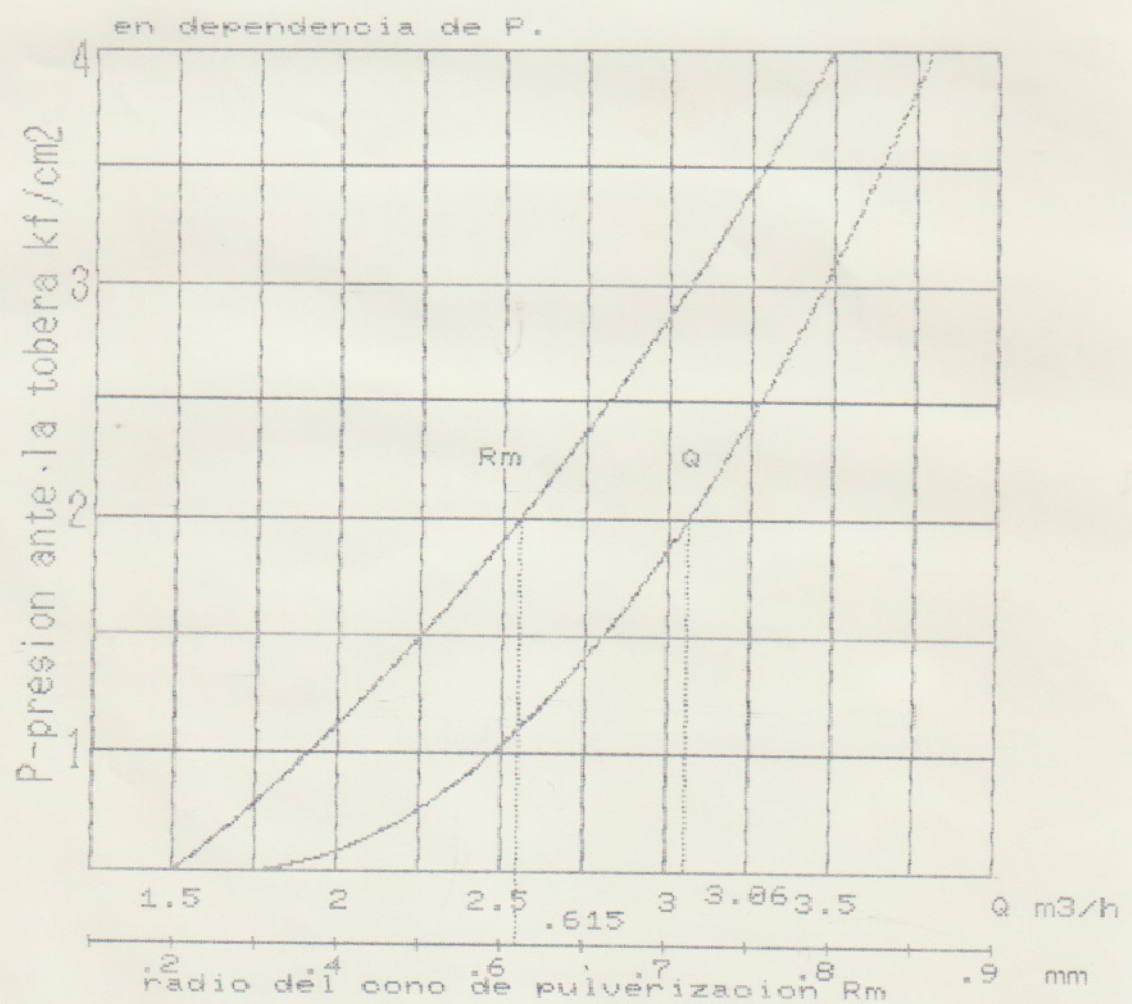
Crabajo de Diploma

#### Instituto Superior Minero Metalúrgico Facultad Metalurgia Electromecánica

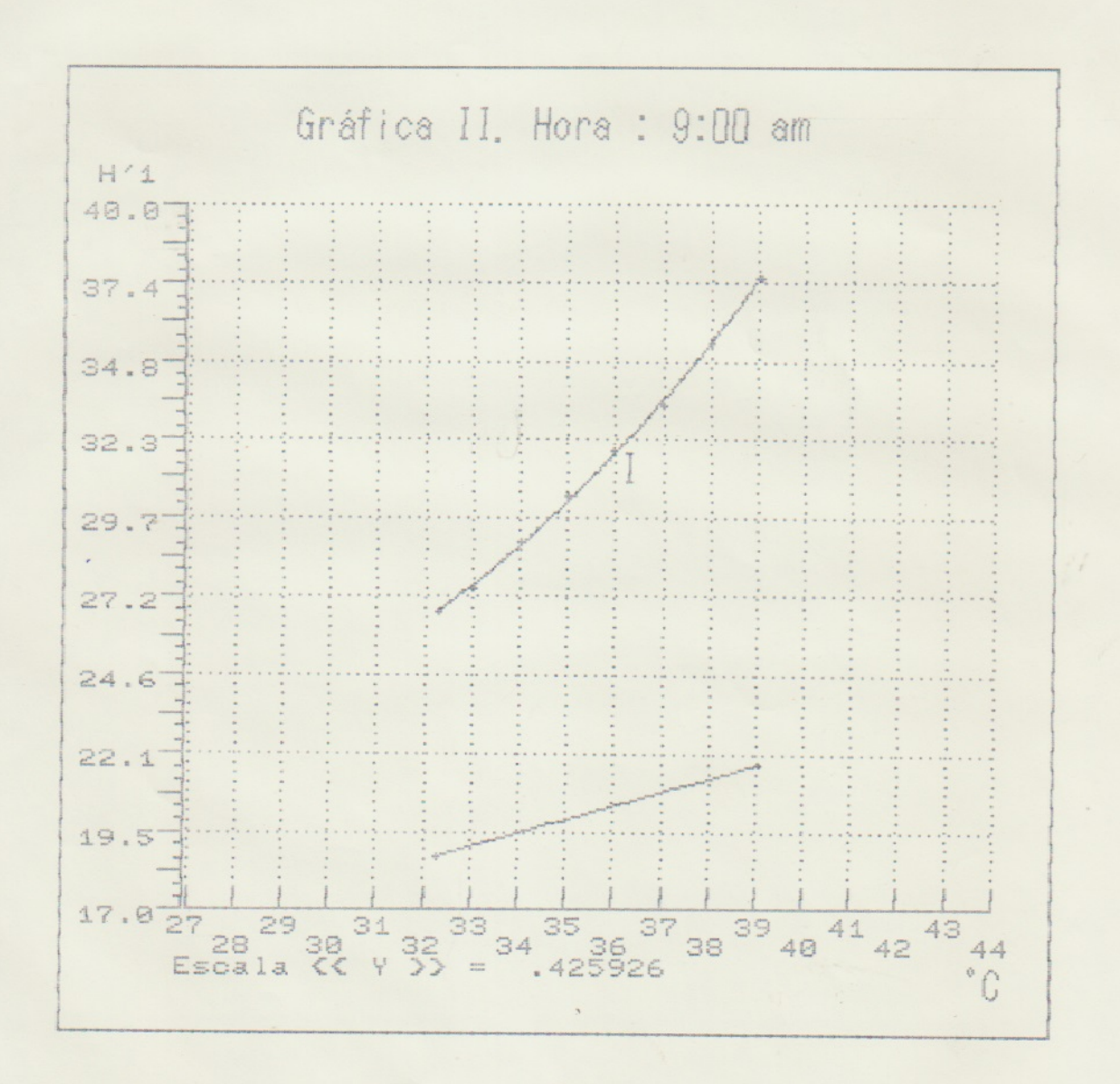
Tabla No 8 Porcientos en perdidas por vaporizacion

				actornom has and	
Hora		dХ	_	% perdidas por evaporación	perdidas de agua por evaporación ( 4 torres )
9:00 a	d n	14.73	2791	2.11	58.92
10:00 a	um	13.64	2760	1.97	54.56
11:00 a	ım	16.46	2700	2.43	56.84
12:00 m		15.12	2743	2.20	60.48
1:00 p	im	14.16	2618	2.16	56.64
2:00 p	ım	14.72	2644	2.22	58.88
3:00 p	m	15.05	2786	2.16	60.20
4:00 p	m	14.76	2797	2.11	59.04
		14.83	2730	2.17	59.32

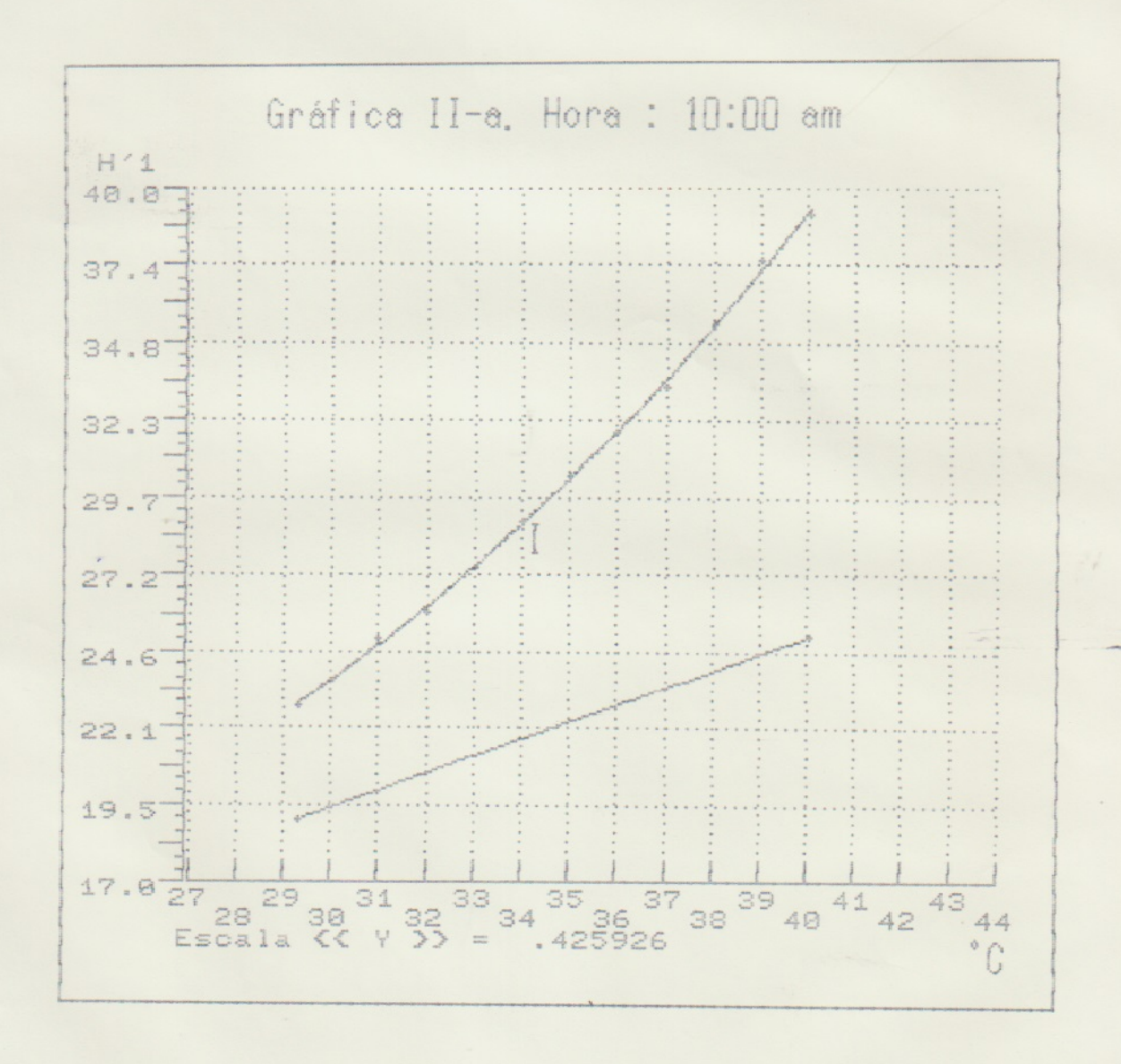
Grafico No 1 Grafico de la tobera para hallar Q y Rm en dependencia de P.



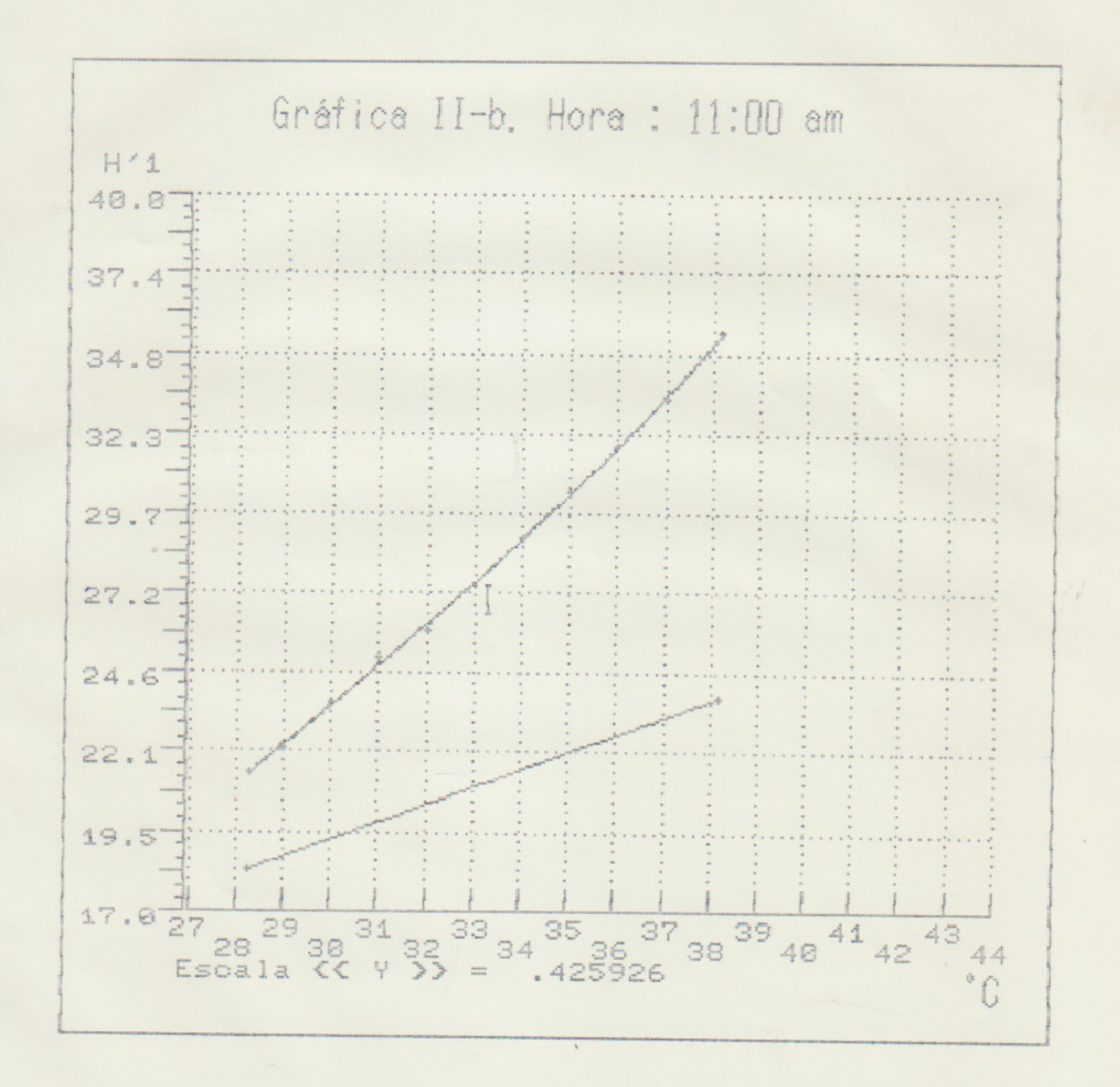
## Instituto Superior Minero Metalúrgico Facultad Metalúrgica Electromecánica



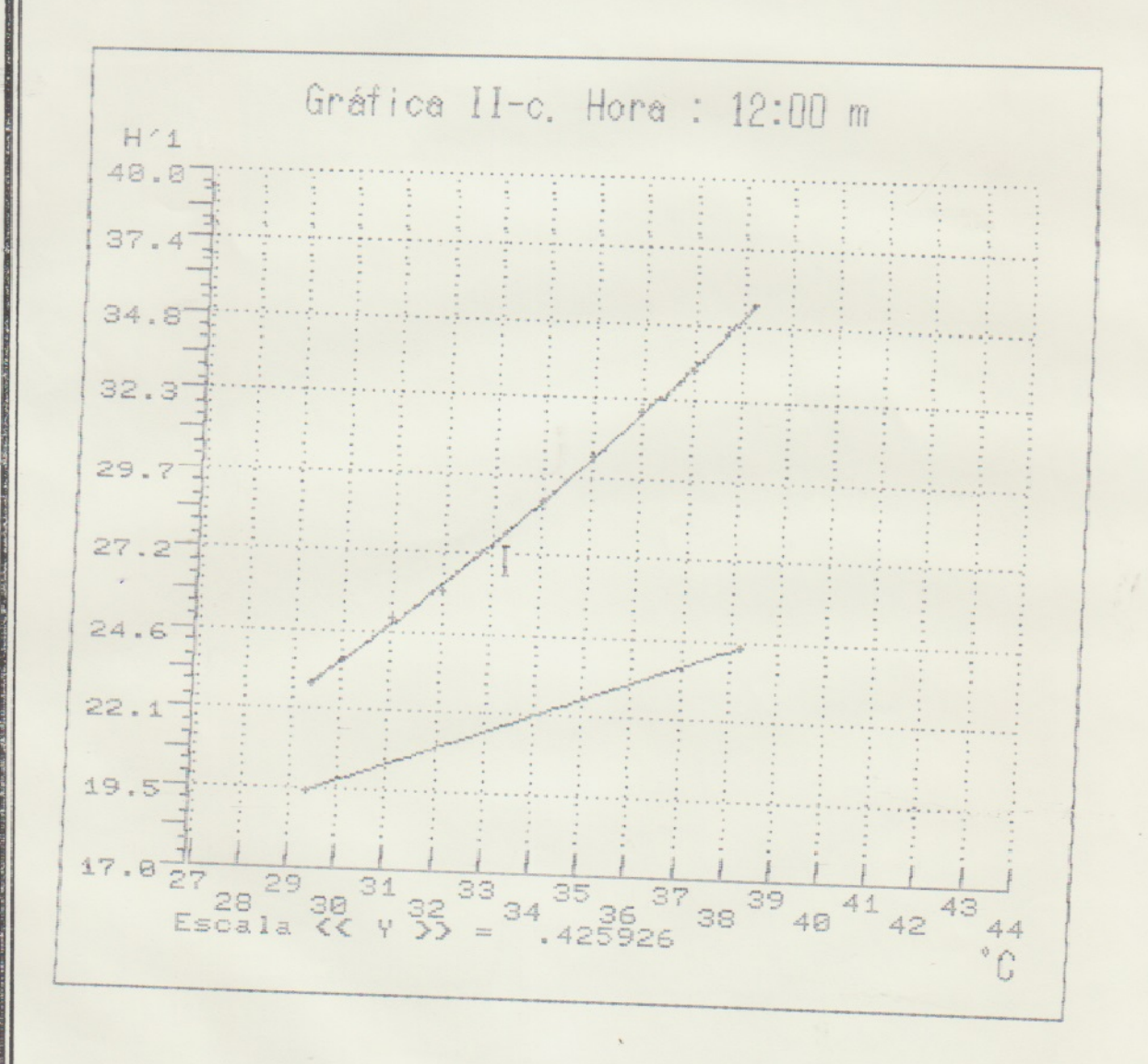
Instituto Superior Minero Metalúrgico Facultad Metalúrgica Electromecánica



#### Instituto Superior Minero Metalúrgico Facultad Metalúrgica Electromecánica

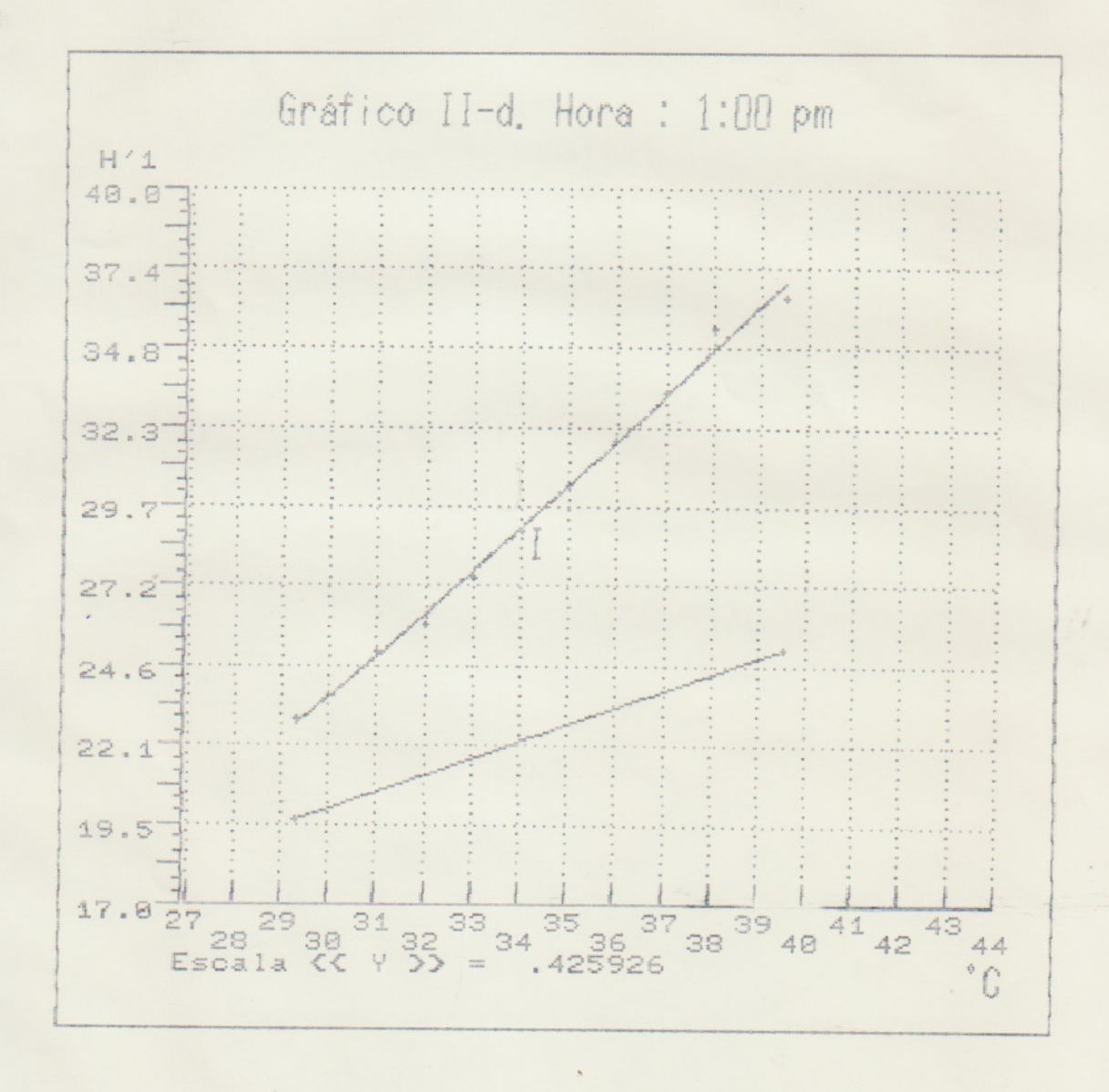


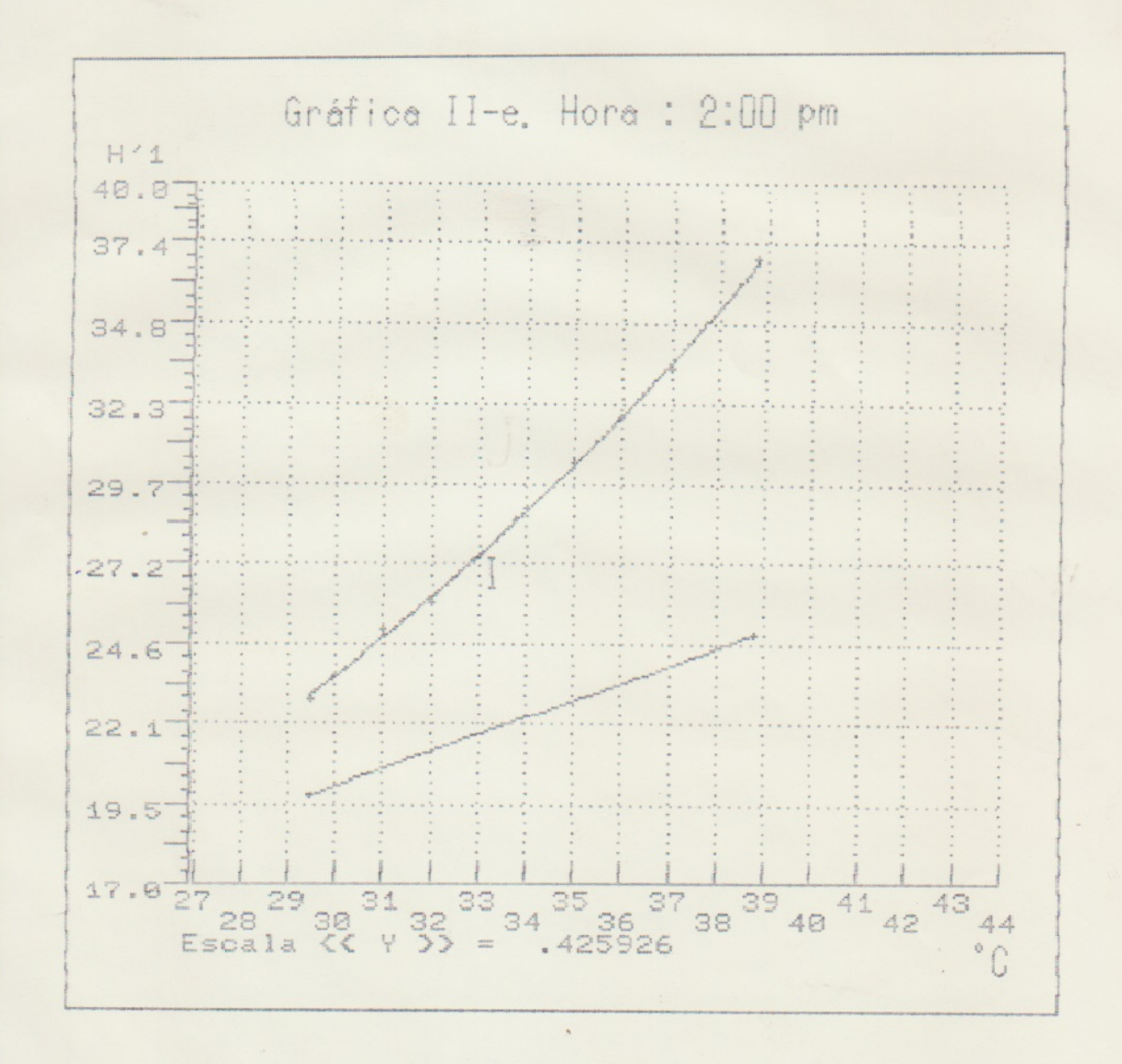
## Instituto Superior Minero Metalúrgico Facultad Metalúrgica Electromecánica



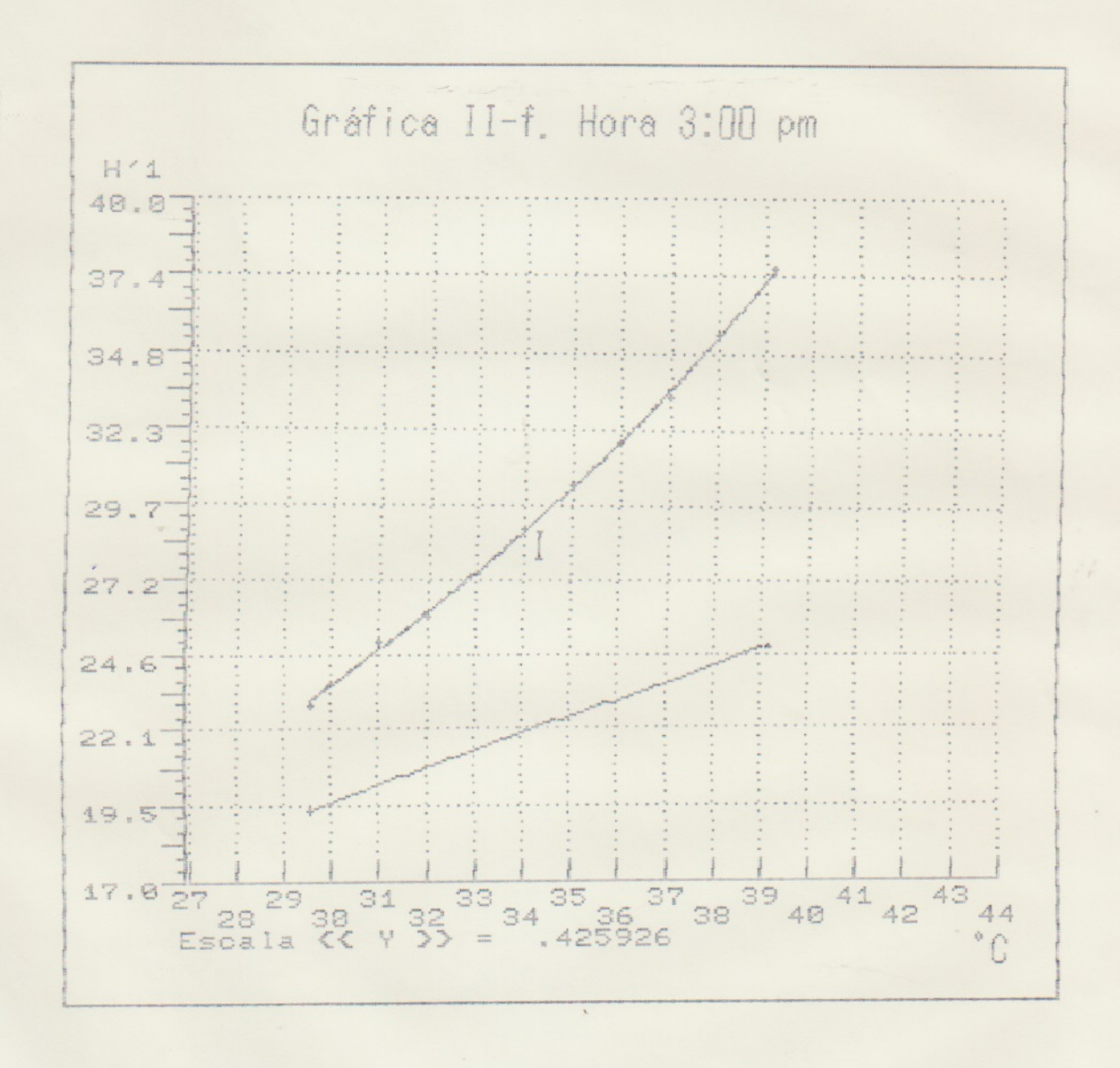
### Instituto Superior Minero Metalúrgico Facultad Metalúrgica Electromecánica

Hoja 97o. —





## Instituto Superior Minero Metalúrgico Facultad Metalúrgica Electromecánica



## Instituto Superior Minero Metalúrgico Facultad Metalúrgica Electromecánica

